

3. **Modeling** – The modeler uses the data to build a model that can predict the outcome of interest. This step involves choosing a statistical model, estimating the model parameters, and validating the model.

A musical score for guitar on a six-line staff. The notation includes various rhythmic values such as eighth notes, quarter notes, and half notes, along with rests. There are also some symbols that look like stylized letters or figures above certain notes.

KRYSTALLOGRAFIE

DER

GRUNDZÜGE

VERLAG
VON
FRIEDRICH VIEWEG UND SOHN
IN
BRAUNSCHWEIG.

Holzstiche
aus dem xylographischen Atelier
von Friedrich Viegweg und Sohn
in Braunschweig.
P a p i e r
aus der Papier-Fabrik
der Gebrüder Viegweg zu Wendhausen
bei Braunschweig.

KRYSTALLOGRAPHIE.

DER

GRUNDZÜGE

Dr. J. MÜLLER,

Grossh. badisch. Hofrath und Ritter des zähringer Löwenordens, Professor der Physik
an der Universität zu Freiburg im Breisgau, der schweizerischen naturforschenden Gesellschaft
Ehrenmitglied und correspondirendes Mitglied mehrerer andern gelehrten
Gesellschaften.

VON

ZWEITE,
VERMEHRTE UND VERBESSERTE AUFLAGE.

LEIPZIG
MIT IN DEN TEXT EINGEDRUCKTEN HOLZSTICHEN.
VERLAG VON
BROCKHAUS

BRAUNSCHWEIG,

DRUCK UND VERLAG VON FRIEDRICH VIEWEG UND SOHN.

1868.
A

Y. A. B. I.
T. E. R. V. A. B. I.
T. E. R. V. A. B. I.

107175

Die Herausgabe einer Uebersetzung in französische und englische Sprache,
sowie in anderen modernen Sprachen wird vorbehalten.

VORREDE.

Die erste Auflage dieser „Grundzüge der Krystallographie“, von welcher bald nach ihrer Publication eine französische Uebersetzung von J. Nikles erschien, war ein besonderer Abdruck des von mir für das Otto-Graham'sche Lehrbuch der Chemie bearbeiteten Kapitels über Krystallographie. Bei dieser Arbeit hatte ich das Ziel im Auge, wenigstens die Grundzüge der Krystallographie, welche für viele Zweige der Naturwissenschaften und namentlich für Chemie, Physik und Mineralogie eine unentbehrliche Hülfswissenschaft geworden ist, einem grösseren Kreise zugänglich zu machen. Namentlich sollte aber dieses Schriftchen dem Anfänger den Eintritt in das Studium der Krystallographie erleichtern und ihn zu einem eingehenden Studium dieser immer mehr Bedeutung gewinnenden Wissenschaft vorbereiten.

Die vorliegende zweite Auflage der Grundzüge der Krystallographie hat die gleiche Tendenz wie die erste; sie giebt eine möglichst kurze und klare Uebersicht der wichtigsten Formen der verschiedenen Krystallosysteme und des gesetzlichen Zusammenhanges derselben. Die wesentlichste Verbesserung, welche diese zweite Auflage

erfahren hat, besteht darin, dass die Naumann'sche Bezeichnung der Krystallflächen von vorn herein eingeführt wurde. Dem zu Folge sind denn auch die meisten Figuren neu gestochen worden.

Die Hemiedrie, welche in der ersten Auflage allzu spärlich behandelt worden war, ist in der neuen in einem besonderen Abschnitte eingehender besprochen worden.

Freiburg im Breisgau, im Juni 1868.

J. Müller.

INHALT.

Einleitung	1
Das reguläre System	5
Das quadratische System	14
Das hexagonale System	21
Das rhombische System	25
Das monoklinische System	35
Das triklinische System	46
Die Hemiedrie	48
Zwillingsbildung	57
Uebersicht der wichtigsten Formen der verschiedenen Krystallsysteme	59
Bezeichnung der Krystallsysteme	64

EINLEITUNG.

Beim Uebergange aus dem flüssigen Zustande in den festen nehmen die meisten Körper regelmässige, von ebenen Flächen begränzte Gestalten an, welche unter dem Namen der Krystalle bekannt sind, mag nun das Festwerden durch die Ausscheidung eines Körpers aus einer Auflösung oder durch Erstarren einer geschmolzenen Masse vor sich gehen. Die oft ausgezeichnet schönen Krystalle, welche wir im Schoosse der Erde finden, sind sicherlich auch auf die eine oder auf die andere Weise entstanden.

Manchmal geht ein Körper aus dem gasförmigen Zustande sogleich in den festen über, ohne vorher flüssig zu werden, und auch hierbei findet meistens eine Krystallbildung Statt, wie man z. B. bei der Bildung des Reifs, bei der Sublimation des Schwefels u. s. w. beobachten kann.

Die Kenntniss der Krystallgestalten ist für den Mineralogen, den Chemiker und Pharmaceuten von der grössten Wichtigkeit, weil die meisten Körper, mit denen er sich beschäftigt, Krystalle bilden, weil oft die Krystallisation ein Kriterium ihrer Reinheit ist, weil die Krystallform ein Unterscheidungszeichen sonst ähnlicher Körper liefert.

Jedem Körper kommt in der Regel eine ihm eigenthümliche Krystallform zu; nur in wenigen Fällen kann derselbe Stoff unter verschiedenen Umständen in verschiedenen Formen krystallisiren, er ist alsdann dimorph; wenn zwei verschiedene Körper dieselbe Krystallform haben, so sind sie isomorph.

Wenn wir mehrere Krystalle desselben Stoffes untersuchen, so finden wir freilich keine absolute Gleichheit oder Aehnlichkeit der Gestalten in geometrischem Sinne. Man betrachte z. B. zwei Krystalle von Quarz, welche unter dem Namen des Bergkrystalls

allgemein bekannt sind. Manchmal haben diese Krystalle die vollkommen regelmäßige Gestalt Fig. 1, meistens aber weichen sie mehr oder weniger von dieser normalen Gestalt ab, wie dies z. B. bei den in Fig. 2, Fig. 3, Fig. 4 und Fig. 5 dargestellten Quarzkrystallen

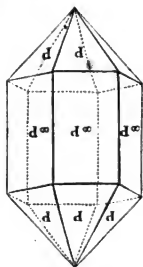


Fig. 1.

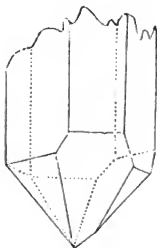


Fig. 2.

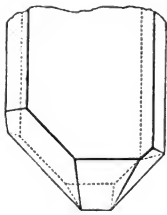


Fig. 3.

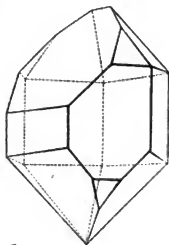


Fig. 4.

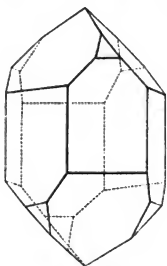


Fig. 5.

der Fall ist, von denen sich Fig. 2 noch am meisten der normalen Gestalt nähert. Der Quarzkrystall Fig. 3 erscheint durch das Vordrängen der vorderen und hinteren Säulenflächen fast tafelförmig, bei dem Krystall Fig. 5 sind drei der Pyramidenflächen nur noch in solcher Kleinheit vorhanden, dass die drei übrigen eine dreiseitige Pyramide bilden, die später noch näher besprochen werden soll.

Wie aber auch die verschiedenen Quarzkrystalle verzerrt erscheinen mögen, so behalten sie doch immer einen, selbst dem weniger Geübten leicht erkennbaren Grundtypus, sie bilden eine sechsseitige Säule, welche durch eine sechsseitige Pyramide zugespitzt ist. Die gleichnamigen Flächen sind aber nicht immer so ganz gleichmäßig ausgebildet, nicht immer so ganz einander gleich, wie in Fig. 1; sie scheinen bald mehr nach Innen, bald mehr

Einführung.

3

nach Aussen gerückt und in Folge dessen erscheinen sie dann bald grösser, bald kleiner als andere gleichnamige Flächen desselben Krystalls. So liegen z. B. die vordere und die hintere Seitenfläche des Krystalls Fig. 3 dem Mittelpunkt des Krystalls viel näher und sind deshalb weit grösser, als die vier übrigen Säulenflächen; bei dem Krystall Fig. 5 sind drei der Pyramidenflächen so viel weiter von der Mitte des Krystalls entfernt als die übrigen, dass sie nur noch als kleine Dreiecke erscheinen.

Eine genauere Untersuchung der Krystalle zeigt aber, dass bei allen diesen Ungleichheiten und Abweichungen die Winkel der entsprechenden Flächen für denselben Körper stets dieselben bleiben. So ist z. B. der Winkel, welchen eine Säulenfläche des Bergkrystalls mit der benachbarten macht, stets 120° , der Winkel zweier neben einander liegenden Pyramidenflächen ist $133^\circ 44'$ u. s. w.

Wenn man die Krystallform eines Körpers beschreibt, wenn man sie zeichnet, so abstrahirt man von allen Zufälligkeiten, man betrachtet alle entsprechenden Flächen als gleich weit vom Mittelpunkte liegend. Wir wollen eine solche Krystallgestalt den idealen Krystall nennen. Die wirklichen Krystalle nähern sich dieser idealen Form bald mehr bald weniger. Bei gleicher Neigung der Flächen gegen einander sind die gleichartigen Flächen doch nicht immer gleichmässig ausgebildet, und so kommt es denn, dass das Ansehen, der Habitus der Krystalle oft sehr von dem der idealen Gestalt abweicht, und oft fällt es wirklich dem Anfänger schwer, die ideale Gestalt in der durch ungleiche Ausdehnung der Flächen hervorgerufenen Verzerrung zu erkennen. Jedemfalls ist es sehr wichtig, auf diesen Umstand aufmerksam zu machen. Wir werden in dem Folgenden öfters davon reden müssen, wie durch ungleiche Entfernung gleichartiger Flächen vom Mittelpunkt des Krystalls der Habitus oft wesentlich verändert wird.

Um bei der näheren Untersuchung der Krystallgestalten, bei der Vergleichung der gegenseitigen Lage der einzelnen Flächen einen Anhaltspunkt zu haben, hat man in den Krystallen gewisse Richtungen unterschieden, gegen welche die Flächen eine symmetrische Lage haben, und diese Richtungen nennt man Axen. In dem Krystall Fig. 1 ist offenbar die Linie, welche die Spitzen der beiden sechseckigen Pyramiden verbindet, eine solche Axe; die in Fig. 1 mit ∞P bezeichneten Flächen der sechseckigen Säule sind mit dieser Axe parallel, alle Pyramidenflächen sind aber gleich gegen dieselbe geneigt.

Die gegenseitige Lage und das Grössenverhältniss dieser Axen ist aber nicht für alle Krystalle dasselbe; man hat in dieser Beziehung sechs verschiedene Krystallsysteme zu unterscheiden.

1) Das reguläre System mit drei zu einander rechtwinkligen und einander gleichen Axen.

2) Das quadratische System mit drei zu einander rechtwinkligen Axen, von denen aber nur zwei einander gleich sind.

3) Das hexagonale System mit vier Axen, von denen drei einander gleiche in einer Ebene liegen und sich unter Winkeln von 60° schneiden, während die vierte, den übrigen nicht gleiche

Axe auf der Ebene der übrigen rechtwinklig steht.

4) Das rhombische System mit drei zu einander rechtwinkligen Axen, von denen aber keine der anderen gleich ist.

5) Das monoklinische System mit drei Axen, von denen ebenfalls keine der anderen gleich ist; zwei dieser Axen sind aber nicht rechtwinklig zu einander, während die dritte auf der Ebene

der beiden anderen rechtwinklig steht.

6) Das triklinische System mit drei einander ungleichen Axen, von denen keine mit der anderen einen rechten Winkel macht.

DAS REGULÄRE SYSTEM.

Als Grundgestalt des regulären Systems betrachtet man gewöhnlich das Octaëder Fig. 6. Es ist dies ein Körper, welcher

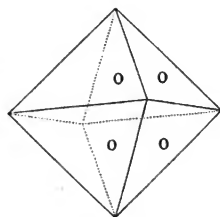


Fig. 6.

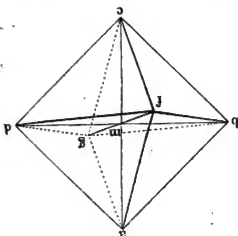


Fig. 7.

durch acht gleichseitige Dreiecke begrenzt ist; die Axen sind hier diejenigen Linien, welche die gegenüberstehenden Ecken verbinden. In Fig. 7 sind diese Axen ausgedogen und in Fig. 8 ist dieses Axenkreuz für sich allein dargestellt.

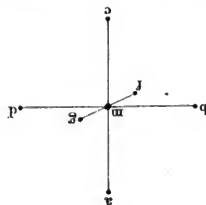


Fig. 8.

Die Axen, welche das obere und das untere Eck verbindet, und diejenige, welche von dem Eck links zum Eck rechts geht, erscheint in unserer Figur unverkürzt, die dritte Axse aber, welche auf der Ebene der beiden anderen rechtwinklig steht, erscheint in unserer Figur verkürzt. Das reguläre Octaëder hat sechs Ecken, von denen jedes dem andern vollkommen gleich ist. Jede dieser Ecken wird durch vier gleiche Kanten gebildet. Die Zahl, der an einem Octaëder vor-

kommenden Kanten ist zwölf und zwar sind diese Kanten alle einander gleich; in jeder dieser Kanten schneiden sich zwei Octäeder-Flächen unter einem Winkel von $109^{\circ} 28'$.

Die vier Kanten ab , bc , cd und da , Fig. 9, bilden ein Quadrat, ebenso die vier Kanten af , fc , cg und ga und die vier horizontalen Kanten bf , fd , dg und gb .

Alle Ecken sind von dem Mittelpunkt der Figur, d. h. von dem Punkte, in welchem sich die drei Axen schneiden, gleich weit entfernt, die Halbachsen ma , mb , mc , md , mf und mg sind einander gleich oder mit anderen Worten:

jede Octäederfläche schneidet die drei Axen in gleicher Entfernung vom Mittelpunkt.

Nach Weiss und Rose werden die einzelnen Flächen der Krystalle dadurch charakterisirt, dass angegeben wird, in welchen Entfernungen vom Mittelpunkt eine jede Fläche des idealen Krystalls die verschiedenen Axen schneiden. Die Flächen des regulären Octäeders schneiden nun, wie wir eben gesehen haben, jede der drei Axen in gleicher Entfernung vom Mittelpunkt; bezeichnen wir diese Entfernung durch a , so ist die Octäederfläche durch die Formel

$$(a : a : a)$$

charakterisirt.

Nach Naumann wird die Octäederfläche einfach durch den Buchstaben O bezeichnet, wie dies auch in Fig. 6 gesehenen. Mit dieser Bezeichnung O ist zugleich ausgedrückt, dass die Octäederfläche alle drei Axen in gleicher Entfernung vom Mittelpunkt m Fig. 9 schneidet, und zwar in einer Entfernung $ma = mb = mf$ u. s. w., welche wir mit l bezeichnen wollen.

Das reguläre Octäeder ist eine Form, welche sowohl an natürlichen als auch an künstlichen Substanzen häufig beobachtet wird, z. B. beim Magnet Eisen, dem salpetersauren Bleioxyd, dem salpetersauren Baryt und Strontian, den verschiedenen Aluminaten u. s. w. Die Alaukrystalle kann man sehr schön in einer gesättigten Lösung wachsen lassen, und dadurch, dass man sie täglich wendet, kann man es dahin bringen, dass alle Flächen vollkommen gleichmässig ausgebildet werden. Ohne solche Vorsichtsmaassregeln er-

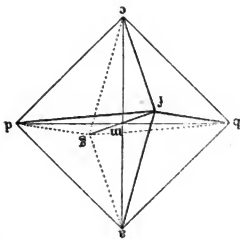


Fig. 9.

hält man in der Regel nur solche Krystalle, welche auf einer Seite aufgewachsen, also nicht rundum gleichförmig ausgebildet sind, wie dies z. B. bei dem Alaun der Fall ist, wie er in Fabriken dargestellt wird, wo die vierseitigen Pyramiden aus der Alaunkruste hervorragen, welche sich zuerst an die Wände der Gefässe absetzt. Eine der gewöhnlich an Octäedern vorkommenden Verzerrungen ist die in Fig. 10 dargestellte; sie entsteht dadurch, dass zwei Octäederflächen dem Mittelpunkt bedeutend näher gerückt sind als die übrigen. Fig. 11 zeigt, auf welche Weise sich diese

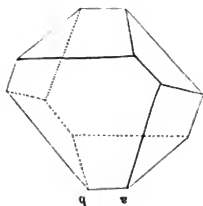


Fig. 10.

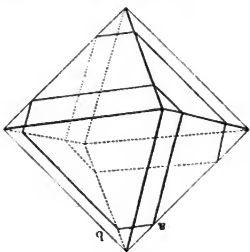


Fig. 11.

Form aus dem idealen Octäeder ableiten lässt. Diese Verzerrung wird am Alaun, dem salpetersauren Bleioxyd u. s. w. häufig beobachtet. An dem verzerrten Octäeder Fig. 10 sieht man die Ecken des idealen Krystalls durch Kanten ersetzt, und in Folge dessen sind in einzelnen Flächen dieses Körpers nicht mehr gleichseitige Dreiecke. Die durch Verschiebung gegen den Mittelpunkt vergrößerten Flächen sind Sechsecke, die übrigen sind Vierecke.

Wenn ein Eck des Octäeders Fig. 12 durch eine Fläche abgestumpft ist, welche auf der durch dieses Eck hindurchgehenden

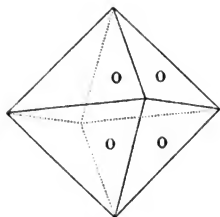


Fig. 12.

Axe rechtwinklig steht, so erfordert das Symmetriegesetz, dass auch die übrigen Ecken in derselben Weise abgestumpft sind, weil alle Ecken des Octäeders einander vollkommen gleich sind; auf diese Weise entsteht der Körper Fig. 13 (a. f. S.). Jede dieser Abstumpfungsfächen steht rechtwinklig auf einer Axe und läuft mit der Ebene der übrigen pa-

rallel.

Wenn die Abstumpfungsfächen im Vergleich zu den ursprünglichen Octäederflächen noch grösser werden, so entsteht der Körper Fig. 14, wenn sie noch mehr wachsen Fig. 15. Hier sind die

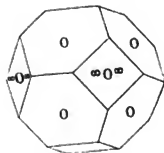


Fig. 13.

auf den Axen rechtwinkligen Abstumpfungsfächen schon weit grösser als die Octäederflächen. Denken wir uns die Abstumpfungsfächen bis zum vollständigen Verschwinden der Octäederflächen vergrössert, so entsteht der Würfel Fig. 16. Weil die erwählten Abstumpfungsfächen bis zu ihrer gegenseitigen Durchschneidung verlängert einen Würfel bilden, so nennt man sie Würfelflächen; die Körper Fig. 13, 14 und 15 aber sind Combinationen des Würfels und des Octäeders; hier und in allen folgenden Figuren sind die Würfelflächen mit $\infty 0 \infty$, die Octäederflächen mit 0 bezeichnet.

In Fig. 13 ist das Octäeder, in Fig. 15 ist der Würfel vorherrschend.

Denken wir uns durch jeden der Punkte a und c (Fig. 16 a.) eine Fläche gelegt, welche parallel mit den Axen $b d$ und $f g$ läuft, welche diese beiden Axen also gleichsam erst in unendlicher Entfernung schneidet, so ist die Lage dieser Flächen nach Weiss charakterisirt durch die Formel

$$(a : \infty a : \infty a)$$

da das Zeichen ∞ ja soviel als „unendlich“ bedeutet. Dasselbe gilt aber auch für die beiden Flächen, welche man durch die Punkte b und d parallel mit der Ebene der Axen $a c$ und $f g$ und für die beiden Flächen, welche man durch die Punkte f und g parallel mit der Ebene der Axen $a c$ und $b d$ und $a c$ gelegt denken kann. Diese so eben besprochenen sechs

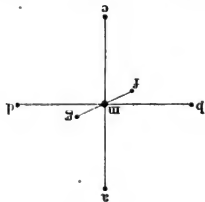


Fig. 16 a.

Flächen bilden aber zusammen einen Würfel, dessen Lage mit der Lage der Würfelflächen in Fig. 13, 14, 15 und 16 zusammen fällt. Nach Naumann bezeichnet man die Würfelfläche durch ∞O , wie dies auch in den Figuren 13 bis 16 geschehen ist, wodurch angedeutet wird, dass die fragliche Fläche mit der Ebene zweier Axen parallel läuft, diese beiden Axen also in unendlicher Entfernung schneidet.

In Gestalt von Würfeln kristallisiren der Flussspath, das Chlornatrium, Chlorkalium u. s. w. Combinationen von Würfel und Octaeder werden sehr häufig beim Alaun, dem Flussspath, dem salpetersauren Bleioxyd, Baryt und Strontian beobachtet.

Ein ganz eigenthümliches Ansehen erhalten die Krystalle des salpetersauren Bleioxyds oft dadurch, dass nur die eine Hälfte der Combination Fig. 14 ausgebildet ist, wie man Fig. 17 sieht, indem sie nämlich mit der Fläche *abcdef* aufgewachsen sind. Durch grössere Ausdehnung der an diese Basis sich ansetzenden Würfel und Octaederflächen erhalten die Krystalle das Ansehen Fig. 18.

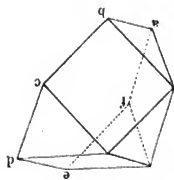


Fig. 17.

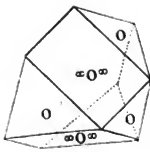


Fig. 18.

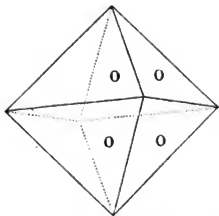
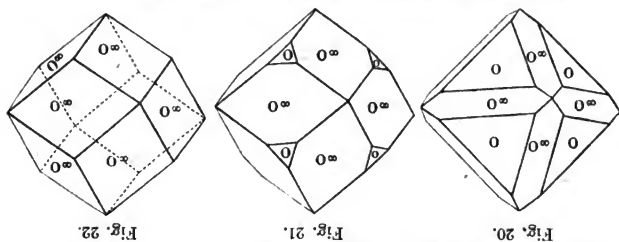


Fig. 19.

Alle Kanten des Octaeders Fig. 19 sind einander gleich, dem Symmetriegesetz zufolge muss demnach auch jede Modification einer Kante alle übrigen Kanten in derselben Weise treffen. Jede Octaederkante schneidet zwei Axen in gleicher Entfernung vom Mittelpunkte; denken wir uns nun dieselbe durch eine Fläche abgestumpft, welche mit der dritten Axe parallel läuft, und diese Modification an jeder Kante vorgenommen, so entsteht der Körper Fig. 20 (a. f. S.). Bei weiterer Ausdehnung dieser Abstumpfungsflächen entsteht der Körper Fig. 21 (a. f. S.). Denken wir uns aber die zwölf Abstumpfungsflächen bis zum vollkommenen Verschwinden der Octaederflächen ausgedehnt, so entsteht das Rhombendodekaeder Fig. 22 (a. f. S.), ein Körper, welcher von zwölf Flächen begrenzt ist, von denen jede gegen zwei Axen gleich geneigt ist und mit der dritten parallel läuft.

Die Flächen, welche dieses Dodekaëder begrenzen, sind Rhomben, in denen jeder der beiden spitzen Winkel $70^{\circ}32'$, jeder der beiden stumpfen aber $109^{\circ}28'$ beträgt.



Eine jede Dodekaëderfläche schneidet zwei Axen in gleicher Entfernung vom Mittelpunkt, weshalb sie nach Weiss und Rose durch die Formel $(a : a : \infty a)$

zu charakterisieren ist, während sie Naumann durch $\infty 0$ bezeichnet, wie dies auch in Fig. 20, 21 und 22 geschehen ist. Durch die Bezeichnung $\infty 0$ soll eben angedeutet sein, dass die tragliche Fläche mit einer Axe parallel läuft, die beiden anderen aber in gleichem Abstände vom Mittelpunkt schneidet.

Das Rhombendodekaëder hat vierundzwanzig einander ganz gleiche Kanten und vierzehn Ecken. Diese Ecken sind aber nicht einander gleich, sondern es lassen sich zweierlei Ecken unterscheiden; in sechs Ecken nämlich, welche mit den Octaëdererecken zusammenfallen, treffen immer vier Rhomben mit ihren spitzen Winkeln zusammen, es sind dies also vierkantige Ecken; diese werden durch die Würfelflächen abgestumpft. In den übrigen acht Ecken treffen aber immer nur drei Rhomben mit ihren stumpfen Winkeln zusammen, diese dreikantigen Ecken werden durch die Octaëderflächen abgestumpft wie in Fig. 21.

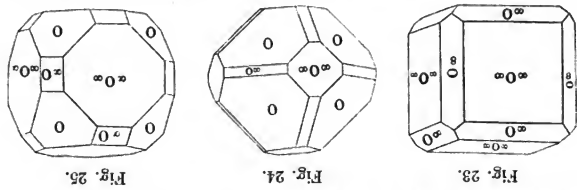
Die Dodekaëderflächen stumpfen die Kanten des Würfels ab, wie man Fig. 23 sieht.

In Rhombendodekaëdern kristallisiert vorzugsweise der Granat, weshalb diese Form auch das Granatoëder genannt wird. Unter den künstlichen Kristallen finden sich sehr selten Dodekaëder; der Phosphor kristallisiert in dieser Form.

Als Abstumpfung der Octaëderkanten werden die Dodekaëderflächen häufig am Alaun beobachtet, dessen Kristalle meistens eine Combination von Octaëder, Würfel und Dodekaëder sind, wie sie in Fig. 24 dargestellt ist.

Reguläres System.

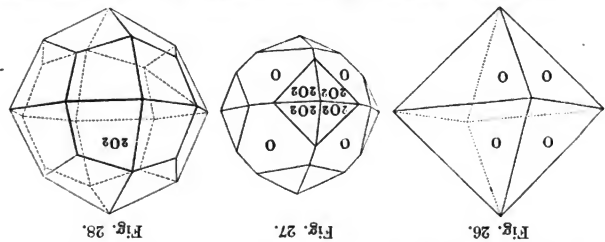
Eine andere Combination des Würfels, des Octäeders und des Dodekaeders ist Fig. 25 dargestellt.



Diese wenigen leicht zu übersehenden Formen sind die ein-

zigen, welche an künstlichen Krystallen, die dem regulären Systeme angehören, beobachtet werden, die übrigen zusammengesetzteren Formen kommen nur an Mineralien vor, es mag deshalb erlaubt sein, einige derselben nur ganz kurz zu betrachten.

Denken wir uns die Ecken eines Octäeders, Fig. 26, durch die Würfelflächen abgestumpft, auf jedem der durch diese Abstumpfung entstehenden Quadrate eine vierseitige Pyramide aufgesetzt, deren Höhe halb so gross ist als die halbe Diagonale der Basis, so ent-



steht der Körper Fig. 27. Denken wir uns diese, die Octäederecken durch eine stumpfere Pyramide ersetzenden Flächen bis zum völligen Verschwinden der Octäederflächen ausgedehnt, so entsteht der Körper Fig. 28, welcher von 24 Flächen begrenzt ist und deshalb Ikositetraeder oder Vierundzwanzigflächner genannt wird.

Bezeichnen wir die Entfernung, in welcher eine Fläche des Ikositetraeders Fig. 28 die eine Axe schneidet mit a , so werden die beiden anderen Axen von derselben Fläche in einer Entfernung $2a$ geschnitten, nach Weiss werden deshalb die Flächen dieses Körpers durch

$$(a : 2a : 2a)$$

nach Naumann dagegen werden sie durch 202 bezeichnet.

Statt der Pyramiden, welche in Fig. 27 die Octäederecken abstumpfen, können auch noch stumpfere Pyramiden vorkommen, deren Höhe nur $\frac{1}{3}$ von der halben Diagonale der Basis ist. Denken wir uns die Flächen dieser stumpferen Pyramiden bis zum Verschwinden der Octäederflächen ausgedehnt, so entsteht das Ikositetraeder der Fig. 29, welches sich von dem Fig. 28 dadurch unterscheidet, dass die Flächen eine andere Neigung gegen einander haben.

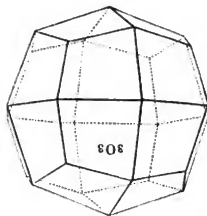


Fig. 29.

In der Form Fig. 28 krystallisiert der Leucit, und deshalb nennt man diesen Körper gewöhnlich das Leucitoeder, den Körper Fig. 29 nennt man dagegen Leucitoid.

Weder das Leucitoeder noch das Leucitoid ist bis jetzt als selbstständige Gestalt an künstlichen Krystallen beobachtet worden, nur sehr selten kommen die Leucitoederflächen in Combination mit dem Octäeder beim Chromalun in der Weise vor, wie man Fig. 27 sieht.

Wenn auf jede Fläche des Würfels Fig. 30 eine vierseitige Pyramide aufgesetzt ist, deren Höhe halb so gross ist, als die Seite der Basis, so entsteht der Pyramidenwürfel Fig. 31, welcher

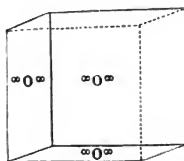


Fig. 30.

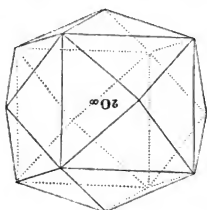


Fig. 31.

auch Viermalsechsfächner oder Tetraakissexäeder genannt wird. Diese Form kommt selbstständig beim Gold vor. Untersuchen wir die Lage der Flächen des Körpers Fig. 31 genauer, so finden wir, dass jede Fläche desselben mit einer der drei Axen parallel läuft, die beiden anderen aber in Entfernungen schneidet, welche sich zu einander verhalten wie 1 zu 2, die Flächen

Reguläres System.

13

des Pyramidenwürfels Fig. 31 sind deshalb zu bezeichnen durch $a : 2a : \infty$ oder durch 20∞ , wie dies auch in Fig. 31 geschehen ist.

Es giebt noch andere Pyramidenwürfel, bei welchen das Verhältniss der Höhe der Pyramide zur Seite der Basis ein anderes, jedoch immer ein rationales ist, doch kommen diese Pyramidenwürfel meist nur in Combinationen vor. Die bis jetzt beobachteten Verhältnisse der Höhe der Pyramide zur Seite der Basis sind 2 zu 3, 1 zu 2, 2 zu 5, 1 zu 3, 1 zu 5, und die diesen Verhältnissen entsprechende Bezeichnung dieser Flächen ist demnach $\frac{2}{3}0\infty$, 20∞ , $\frac{2}{5}0\infty$, 30∞ und 50∞ .

Die Fig. 32 stellt eine Combination des Würfels mit dem Pyramidenwürfel 30∞ dar, wie sie am Flussspath beobachtet wird.

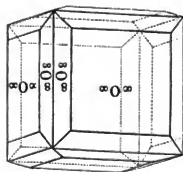


Fig. 32.

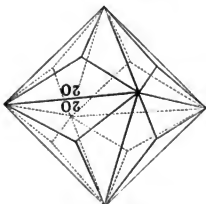


Fig. 33.

Dadurch, dass auf jede Fläche des Octaëders eine dreiseitige Pyramide aufgesetzt erscheint, entsteht der Dreimalachtflächen oder das Triakisoctaëder Fig. 33. Jede der Flächen dieses Körpers schneidet zwei der drei Axen in gleicher Entfernung vom Mittelpunkte und würde bei gehöriger Verlängerung die dritte in einer doppelt so grossen Entfernung vom Mittelpunkte schneiden, diese Flächen sind also durch die Formel ($a : a : 2a$) charakterisirt und nach Naumann mit 20 zu bezeichnen.

Sowie es verschiedene Pyramidenwürfel giebt, so hat man auch verschiedene Triakisoctaëder zu unterscheiden. Ausser dem Triakisoctaëder 20 kommen namentlich noch die den Bezeichnungen $\frac{2}{3}0$ und 30 entsprechenden vor.

Die Beschreibung der noch übrigen, seltener vorkommenden Formen des regulären Systems würde uns zu weit führen.

DAS QUADRATISCHE SYSTEM.

Die Grundform dieses Systems ist ein Quadratoctäeder, wie solche in Fig. 34 und Fig. 35 dargestellt sind, d. h. ein Octäeder, welches sich von den regulären dadurch unterscheidet, dass zwei Axen unter sich, aber nicht der dritten gleich sind. Die letztere ausgezeichnete Axe wollen wir die Hauptaxe nennen und uns dieselbe stets vertical gestellt denken.

Die Hauptaxe steht zu den beiden anderen nicht in einem rationalen Verhältniss; sie ist bald grösser, bald kleiner als die Nebanaxen, doch ist das Axenverhältniss für Krystalle ein- und

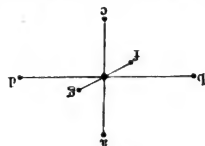


Fig. 36.

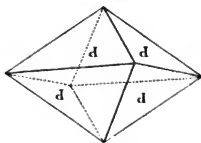


Fig. 34.

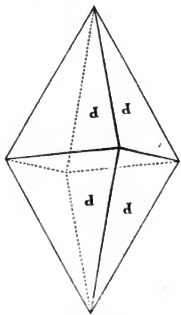


Fig. 35.

derselben Substanz stets dasselbe. Fig. 36 stellt z. B. das Axenkreuz dar, wie es den Krystallen Fig. 34 des arseniksauren Kalis entspricht; hier sind die Axen f und bd einander gleich. Nimmt man die Länge dieser Axen zur Einheit, so ist für dieses Salz die verticale Axe gleich 0,66. Fig. 35 stellt die Grundform des Blut-

langensalztes dar, bei welchem die Hauptaxe grösser ist als die Nebenaxen, und zwar im Verhältniss wie 1,77 zu 1.

Bezeichnen wir die Länge einer Nebenaxe des quadratischen Octaeders mit a , die Länge seiner Hauptaxe mit c , so ist die Bezeichnung für eine Fläche desselben ($a : a : c$).

Naumann bezeichnet die Flächen des Quadratoctaeders einfach mit P , wie dies auch in Fig. 34 und 35 geschehen ist.

Die acht Flächen des Quadratoctaeders sind keine gleichseitigen, sondern nur gleichschenkelige Dreiecke, doch nähern sie sich den ersten um so mehr, je weniger die Hauptaxe von den beiden anderen verschieden ist.

Die Kanten des Quadratoctaeders sind nicht alle einander gleich, man hat hier zweierlei Kanten zu unterscheiden; die vier horizontalen Kanten nämlich, welche ein Quadrat bilden, sind unter sich gleich; von diesen sind aber die übrigen Kanten verschieden, von denen vier in der oberen und vier in der unteren Spitze zusammenlaufen. Daraus folgt nun, dass man am Quadratoctäeder auch zweierlei Ecken zu unterscheiden hat, das obere und untere Eck wird nämlich durch vier gleichartige Kanten gebildet, während die übrigen vier unter sich gleichen Ecken durch verschiedenartige Kanten gebildet werden.

Deshalb kann auch das obere und das untere Eck abgestumpft sein, ohne dass es die übrigen sind, wie dies in Fig. 37 und 38 der Fall ist. Diese Abstumpfungsfäche des oberen und unteren Ecks,



Fig. 37.

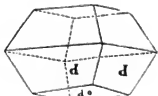


Fig. 38.

welche rechtwinklig auf der Hauptaxe steht, wollen wir die gerade Endfläche nennen und sie nach Naumann in allen folgenden Figuren mit oP bezeichnen. Der Grund dieser Bezeichnung wird etwas weiter unten angegeben werden.

Die Weiss'sche Bezeichnung dieser geraden Endfläche ist

$$(c : \infty a : \infty a),$$

weil sie mit den beiden Nebenaxen parallel läuft, dieselben also nur in unendlicher Entfernung schneidet.

Als Beispiele einer Combination des Quadratoctaeders mit der geraden Endfläche kann das Blutaugensalz und das schwefelsaure Nickeloxyd angeführt werden.

Durch Abstumpfung der vier Octäederecken, welche die horizontalen Axen begrenzen, entsteht die Combination Fig. 39. Jede der abstumpfenden Flächen steht auf einer der horizontalen Axen rechtwinklig und läuft mit der Hauptaxe parallel. Diese Flächen sind also durch die Formel

$$a : \infty a : \infty c$$

charakterisirt und nach Naumann analog den Würfelflächen des regulären Systems durch ∞P zu bezeichnen.

Die Combination Fig. 39 kommt beim Honigstein vor. Fig. 40 stellt eine beim Kupferchlorid-Chlorkalium häufig vorkommende Verzerrung der idealen Form Fig. 39 vor.

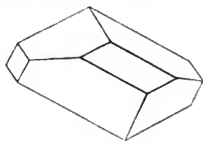


Fig. 40.

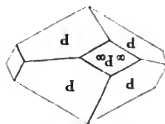


Fig. 39.

Wenn die vier Abstumpfungsfächen ∞P so weit wachsen, dass sich je zwei derselben in einer Kante schneiden, so bilden sie eine quadratische Säule. Fig. 41 stellt eine Combination dieser etwas verlängerten Säule mit den Octäederflächen dar. Fig. 42 ist eine Combination dieser Säule mit der Endfläche oP .

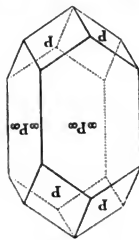


Fig. 41.



Fig. 42.

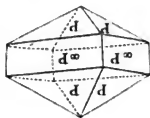


Fig. 43.

Gehen wir nun zu der Betrachtung derjenigen Figuren über, welche durch Abstumpfung der Kanten des Quadratoctäeders entstehen.

Die vier horizontalen Kanten können für sich abgestumpft sein, ohne dass es die übrigen sind; durch diese Abstumpfung entsteht die Combination Fig. 43. Jede der Abstumpfungsfächen schneidet die beiden horizontalen Axen in gleicher Entfernung vom Mittelpunkt und läuft mit der Hauptaxe parallel, ihre Lage ist also durch die Formel

$$a : a : \infty c$$

Quadratisches System.

gegeben. Diese nur mit der Hauptaxe parallelen Flächen werden nach Naumann mit ∞P bezeichnet, wie sich denn überhaupt alle vor P angebrachten Zeichen auf die Hauptaxe beziehen, während alle hinter P gesetzten Zeichen für eine Nebenaxe gelten. Die vier Flächen ∞P bilden eine quadratische Säule, welche in Fig. 44 mehr verlängert erscheint.

Fig. 45 ist eine Combination der Säule ∞P mit der Endfläche oP .

Wir haben hier eine zweite quadratische Säule kennen gelernt, welche sich von der ersten, deren Flächen (als der Haupt-

axe und einer Nebenaxe parallel) mit ∞P bezeichnet wurden, nur durch ihre Stellung gegen das Octäeder unterscheidet; die Octäederflächen sind nämlich auf den Flächen der Säule ∞P (wie in Fig. 44) und auf den Kanten der Säule ∞P (Fig. 41) aufgesetzt.

Die Flächen der Säule ∞P stumpfen die rechtwinkligen Kanten der Säule ∞P ab, und umgekehrt, wie man Fig. 46 sieht, welche eine Combination der Säule ∞P und der

geraden Endfläche oP darstellt, eine Combination, welche unter anderem am essigsauren Kalkkupfer beobachtet wird. Die Fig. 47 stellt eine Combination der vorigen Figur mit den Octäederflächen P dar, welche ebenfalls am essigsauren Kalkkupfer vorkommt.

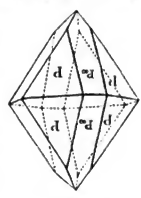


Fig. 48.

Mailler, Kystallographie.

Durch Abstumpfung der Seitenkanten des Quadratoctäeders entsteht die Combination Fig. 48. Nach Naumann werden diese Flächen mit P bezeichnet und damit ausgedrückt, dass sie mit einer Nebenaxe parallel laufen, die Hauptaxe aber in dem einfachen Abstand c die andere Nebenaxe im einfachen Abstand a vom Mittelpunkt schneiden. Denken wir uns die Abstumpfungsfächen P ∞ bis zum Verschwin-

Quadratisches System.

den der Octäederflächen P ausgedehnt, so entsteht der Körper Fig. 49. Die acht Flächen $P \infty$ bilden nun für sich allein ebenfalls ein Octäeder mit quadratischer Basis, welches zu dem Octäeder P in einer ähnlichen Beziehung steht, wie die quadratische Säule $\propto P$ zur quadratischen Säule $\propto P \infty$; die horizontalen Kanten des einen Octäeders machen nämlich einen Winkel von 45° mit denen des anderen, doch sind die Flächen des Octäeders P nicht die Abstumpfungsfächen der Seitenkanten des Octäeders $P \infty$.

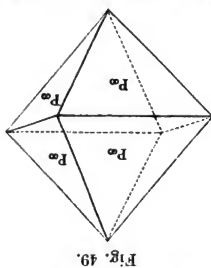


Fig. 49.

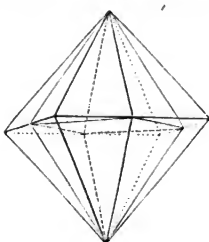


Fig. 50.

Wir wollen das Octäeder P ein Octäeder erster Ordnung, das Octäeder $P \infty$ aber ein Octäeder zweiter Ordnung nennen. Um die gegenseitige Stellung eines Octäeders zweiter Ordnung zu den entsprechenden Octäedern erster Ordnung anschaulich zu machen, sind beide in Fig. 50 zusammengestellt.

Für sich allein betrachtet ist gar kein Grund vorhanden, das Octäeder Fig. 49 von einem anderen Quadratoctäeder zu unterscheiden, es ist kein Grund vorhanden, warum man nicht die Diagonalen der Basis des Octäeders Fig. 49 als die Axen des Krystalls ansehen und in der Zeichnung es so stellen sollte, wie das Octäeder Fig. 35; die Unterscheidung in Octäeder erster und zweiter Ordnung erhält erst dadurch eine Bedeutung, dass beide Octäeder combinirt an demselben Krystall vorkommen. Man betrachtet in solchen Fällen dasjenige als das Octäeder erster Ordnung, dessen Flächen am meisten ausgedehnt sind. Das obere und das untere Eck der Quadratoctäeder erscheinen oft durch vier Flächen in der Weise abgestumpft, wie in Fig. 51. Diese vier Abstumpfungsfächen bilden zusammen eine vierseitige Pyramide von quadratischer Basis; wenn man sich nun die Flächen der stumpferen Pyramiden bis zum Verschwinden der Flächen des primitiven Octäeders P verlängert denkt, so entsteht auf diese

Weise ebenfalls ein Quadratoctaeder, welches sich von dem ersten nur dadurch unterscheidet, dass es stumpfer ist. Durch die stumpfere vierseitige Pyramide, wird die Spitze der unteren

steileren Pyramide abgestumpft. Denken wir uns diese Spitze auf die Basis der Pyramide $\frac{1}{2}P$ aufgesetzt, wie es in Fig. 52 dadurch geschehen ist, dass die Kanten der unteren Pyramide bis zu ihrer Durchschneidung verlängert werden, so hat man eine spitzere und eine stumpfere Pyramide von gleicher Basis. Die Höhen der spitzeren und stumpferen Pyramiden stehen aber bei gleicher Basis stets in einem einfachen Verhältniss. In unserer Figur ist die Höhe der stumpferen Pyramide nur $\frac{1}{2}$ von der der spitzeren; deshalb sind auch die Flächen dieser stumpferen Pyramide in Fig. 51 mit $\frac{1}{2}P$ bezeichnet. Es kommen auch noch stumpfere Pyramiden vor, deren Höhe nur $\frac{1}{3}$, $\frac{1}{4}$ von der Höhe des durch sie abgeschnittenen Stückes des Octaëders P ist; die Flächen dieser Pyramiden werden mit $\frac{1}{8}P$, $\frac{1}{4}P$, \dots , $\frac{1}{n}P$ u. s. w. bezeichnet.

Fig 53 stellt eine Combination des Hauptoctaëders P mit dem

nächst stumpferen Octaëder $\frac{1}{2}P$ und der geraden Endfläche oP

dar, wie sie beim schwefelsauren Nickeloxyd

vorkommt.

Je kleiner bei gleicher Basis die verticale

Axe der Pyramiden $\frac{1}{n}P$ wird, desto flacher

werden dieselben; sie gehen endlich in eine

rechtwinklig stehende Fläche, die gerade Endfläche, über, wenn

$\frac{1}{n}$ gleich o wird, weshalb denn auch die gerade Endfläche der Haupt-

axe mit oP bezeichnet wird, wie dies bereits oben angeführt wurde.

Ebensso, wie mit dem Octaëder P die stumpferen Octaëder $\frac{1}{2}P$, $\frac{1}{3}P$, \dots , oP vorkommen, so kommen auch noch spitzere Octaëder $2P$, $3P$, $4P$ u. s. w. vor, deren obere und untere Spitze

durch das Octaëder P abgestumpft wird. Eine in diese Reihe ge-

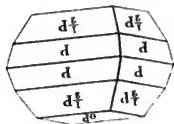


Fig. 53.

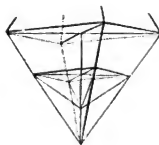


Fig. 52.

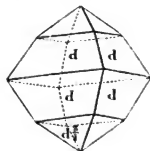


Fig. 51.

hörige Pyramide aber, deren Höhe für eine bestimmte Grösse der quadratischen Basis unendlich wird, also die Pyramide ∞P , ist nichts anderes als die verticale quadratische Säule, wie sie in den Figuren 43, 44, 45 u. s. w. vorkommt und deren Flächen deshalb auch mit ∞P bezeichnet werden.

So wie es spitzere und stumpfere Octäeder erster Ordnung giebt, so giebt es auch spitzere und stumpfere Octäeder zweiter Ordnung. Die Flächen desjenigen Octäeders zweiter Ordnung, welches die Kanten des Octäeders P gerade abstumpft, wie Fig. 54,

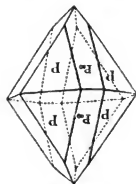


Fig. 54.



Fig. 55.

sind, wie wir bereits gesehen haben, mit $P\infty$ zu bezeichnen. Ihre Durchschnittslinien mit den Flächen des Octäeders P sind stets mit den abgestumpften Kanten des Octäeders P parallel.

Fig. 55 stellt eine Combination des Octäeders P mit einem Octäeder zweiter Ordnung dar,

dessen Flächen $2P\infty$ (Flächen, welche die Hauptaxe im Abstand $2c$ die eine Nebenseite im Abstand a schneiden und mit der zweiten Nebenseite parallel laufen) die Kanten eines steileren Octäeders erster Ordnung, und zwar die des Octäeders $2P$, gerade abstumpfen würden. In diesem Falle sind die Kanten, in welchen eine Fläche $2P\infty$ zwei nebeneinander liegende Octäederflächen P schneidet, nicht parallel, sondern nach der Mitte des Krystals hin divergirend.

Fig. 56 zeigt eine Combination zweier Octäeder erster Ordnung mit der geraden Endfläche ∞P und dem Octäeder zweiter Ordnung $P\infty$. Man sieht hier, wie die Fläche $P\infty$ die Kanten

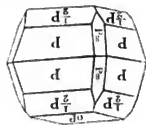


Fig. 56.

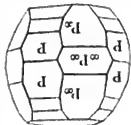


Fig. 57.

des entsprechenden Octäeders P gerade, die des stumpferen Octäeders $1/2 P$ aber nicht gerade abstumpft.

Diese Combination sowie die folgende Fig. 57 wird am schwefelsauren Nickeloxyd beobachtet. Fig. 57 ist eine Combination dreier Octäeder erster Ordnung mit der Endfläche ∞P , dem Octäeder zweiter Ordnung $P\infty$ und den Säulenflächen $\infty P\infty$, welche auf einer der horizontalen Axen rechtwinklig stehen.

DAS HEXAGONALE SYSTEM.

Dem Octäeder des quadratischen Systems entspricht als Grundform des hexagonalen eine doppelt sechseckige Pyramide, wie eine solche in Fig. 58 dargestellt ist.

Die gemeinschaftliche Basis der beiden sechseckigen Pyramiden ist ein regelmäßiges Sechseck; es ist in Fig. 59 unverkürzt

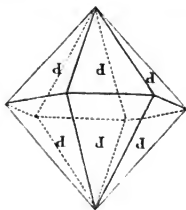


Fig. 58.

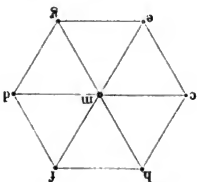


Fig. 59.

dargestellt. Die drei Linien cd , ef und gh , welche durch den Mittelpunkt m dieses Sechsecks gehend je zwei diametral gegenüberliegende Ecken desselben verbinden, bilden die drei gleichen horizontalen Axen, welche sich je zwei unter einem Winkel von 60° schneiden. Die Hauptaxe, welche auf der Ebene der drei anderen rechtwinklig steht, verbindet die Spitze der oberen mit der Spitze der unteren Pyramide.

Die zur Ebene der Nebenaxen rechtwinklige Hauptaxe steht nun auch hier, was ihre Grösse betrifft, nicht in einem rationalen Verhältnis zu den Nebenaxen. Bezeichnen wir mit 1 die Länge einer Nebenaxe, so ist die Länge der Hauptaxe für Bergkrystall 1,1, während sie für Kalkspath 0,83 ist. Demnach stellt Fig. 60 (a. f. S.) das Axensystem für Bergkrystall, Fig. 61 stellt dasselbe für Kalkspath dar.

Bezeichnen wir die Länge der Hauptaxe des hexagonalen Axenkreuzes mit c , die Länge jeder der drei Nebenachsen mit a , so

Fig. 60.

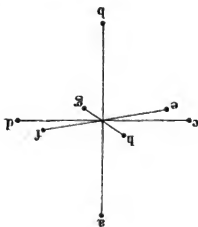
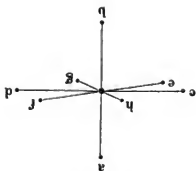


Fig. 61.



ist die Lage einer jeden der Pyramidenflächen P des Körpers Fig. 58 durch die Formel

$$(a : a : \infty a : c)$$

gegeben, denn jede der Flächen P läuft mit einer Nebenaxe parallel, während sie die beiden anderen in einem Abstand a , die Hauptaxe aber in einem Abstand c von dem Mittelpunkt des Krystals schneidet.

An der sechseckigen Doppelpyramide Fig. 58 sind zweierlei Ecken zu unterscheiden, denn die Spitzen der oberen und unteren Pyramide sind einander gleich, aber von den sechs übrigen abermals unter sich gleichen Ecken verschieden.

Auch die Kanten des Körpers Fig. 58 sind von zweierlei Art; die sechs horizontalen Kanten, welche die gemeinschaftliche Basis der beiden Pyramiden bilden, sind unter sich gleich; eben so sind die sechs Seitenkanten der oberen und die sechs Seitenkanten der unteren Pyramide unter sich gleich.

Wenn die sechs horizontalen Kanten durch Flächen abgestumpft werden, welche der Hauptaxe parallel sind, so bilden diese Abstumpfungsfächen unter sich eine sechseckige Säule, deren Flächen, analog denen der quadratischen Säule Fig. 45 mit ∞P bezeichnet werden und deren Lage durch die Formel

$$(a : a : \infty a : \infty c)$$

gegeben ist, da diese Säulenflächen sowohl mit einer Nebenaxe als auch mit der Hauptaxe parallel laufen. Fig. 62 stellt die Combination dieser Säule mit den Flächen der sechseckigen Doppelpyramide dar.

In Fig. 63 erscheint die reguläre sechseckige Säule oben und

unten durch eine auf der Hauptaxe rechtwinklige Fläche, die gerade Endfläche oP , begrenzt.

Fig. 64 stellt eine Combination der regulären sechseckigen Säule mit der sechseckigen Pyramide und der geraden End-

fläche dar.

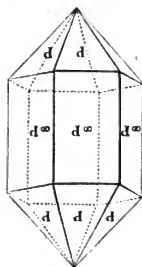


Fig. 62.

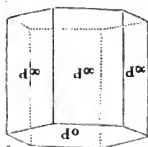


Fig. 63.

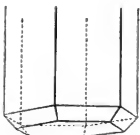


Fig. 64.

Die Kristallform Fig. 58 und 62 wird häufig beim Bergkry-
stall beobachtet, Fig. 63 kommt beim Kalkspath vor. Fig. 64 ist
eine beim Apatit zu beobachtende Combination. Auch der salz-
saure Kalk krystallisirt in regelmässiger sechseckigen Säulen.
Wie im quadratischen System kommen auch an den Kry-
stallen des hexagonalen Systems noch andere Pyramiden vor,
welche sich von der die Grundform bildenden Pyramide nur da-
durch unterscheiden, dass bei ihnen die Hauptaxe 2 mal, 3 mal,
4 mal u. s. w. grösser oder kleiner ist als bei der Grundform,
Flächen also, welche mit $2P$, $3P$, $4P$ u. s. w. oder mit $1/2P$, $1/3P$,
 $1/4P$ u. s. w. zu bezeichnen sind.
Den quadratischen Pyramiden und den quadratischen Säulen
weiter Ordnung, wie sie im quadratischen System vorkommen,
entsprechen reguläre sechseckige Pyramiden und Säulen
weiter Ordnung im hexagonalen System. Durch die
Combination von sechseckigen Pyramiden erster und zweiter Ord-
nung können reguläre zwölfsseitige Pyramiden entstehen, durch
die Combination einer regulären sechseckigen Säule erster Ord-
nung mit einer solchen zweiter Ordnung aber entsteht eine regu-
läre zwölfsseitige Säule.

DAS RHOMBISCHE SYSTEM.

Die drei Axen des Octäeders, welches man als Grundform dieses Systems betrachtet, stehen zwar rechtwinklig auf einander, wie beim regulären und quadratischen System, aber keine ist der anderen gleich. Das Grössenverhältniss der drei Axen zu einander ist für die verschiedenen Körper, welche zu diesem Krystallsystem gehören, nicht dasselbe; für Salpeter verhalten sie sich wie 1 : 0,701 : 0,589, für schwefelsaures Kali wie 1 : 1,303 : 1,746, für den natürlichen Schwefel wie 1 : 0,8 : 1,9. Je nachdem das Grössenverhältniss der Axen ein anderes ist, wird auch der Habitus des Octäeders ein anderer sein. So stellt z. B. Fig. 65 das Octäeder und Fig. 66 das Axenkreuz des Salpeters dar, während Fig. 67

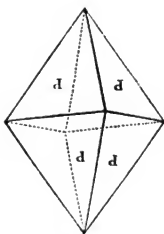


Fig. 65.

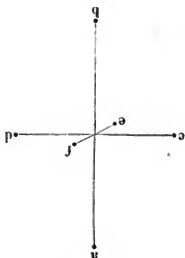


Fig. 66.

und Fig. 68 das Octäeder und das Axenkreuz des natürlichen Schwefels darstellen.
Da hier keine Axe vor der anderen ausgezeichnet ist, wie dies beim quadratischen System der Fall war, so liegt kein Grund vor, irgend eine Axe als Hauptaxe zu betrachten. Durch die Form des Octäeders an und für sich ist die Wahl der verticalen Axe nicht

Rhombisches System.

25

bedingt. Man nimmt in der Regel diejenige Axe zur Hauptaxe, welche durch den Habitus der Krystalle ausgezeichnet ist; so

nimmt man z. B. bei allen Körnern dieses Systems, welche in Form von Säulen krystallisiren, diejenige Axe zur verticalen, welche den Säulenkanten pa-

rallel ist.

Während je vier in einer Ebene liegende Kanten des regulären Octaëders ein Quadrat bilden, während dies für die vier horizontalen Kanten des Quadratoctaëders der Fall ist, bilden je vier in einer

Ebene liegende Octaëderkanten dieses Systems stets eine Raute oder einen Rhombus; das Viereck, welches durch die vier horizontalen Kanten des Rhombenocctaëders gebildet wird (in Fig. 69 ist die durch die vier horizontalen Kanten des Octaëders

Fig. 65 gebildete Raute unverkürzt dargestellt), hat also ebenfalls zwei spitze und zwei stumpfe Winkel, seine beiden Diagonalen, also die beiden horizontalen Axen, sind nicht gleich. Hat man sich einmal darüber entschieden, welche Axe man zur verticalen nehmen will, so wollen wir den Krystall so stellen, dass die

grössere der beiden horizontalen Axen unverkürzt, die kleinere aber verkürzt erscheint, also dem Beschauer zugekehrt ist. Diese Stellung ist bei den folgenden Figuren, wo nicht das Gegentheil ausdrücklich gesagt ist, beibehalten, die beiden spitzen Ecken der horizontalen Basis des Rhombenocctaëders erscheinen also rechts und links, die stumpfen vorn und hinten.

Auch die Flächen des Rhombenocctaëders werden mit *P* bezeichnet; ihre Lage ist durch die Formel

$$(a : b : c)$$

gegeben, in welcher *c* die Länge der vertical gestellten, *a* die Länge der kleineren, *b* die Länge der grösseren horizontalen Axe bezeichnet.

Von den sechs Ecken unseres Octaëders sind immer nur je zwei einander gleich, nämlich das obere und das untere, das vordere

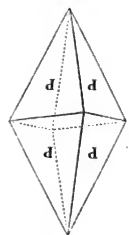


Fig. 67.

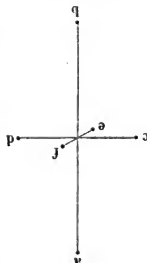


Fig. 68.

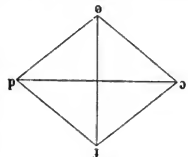


Fig. 69.

und das hintere und endlich das Eck rechts und das Eck links; je zwei dieser Ecken können also auch abgestumpft sein, ohne dass es die anderen sind.

Wir wollen in dem Folgenden die Abstumpfungsfäche des oberen und unteren Ecks, welche rechtwinklig auf der verticalen Axe steht, entsprechend der ähnlich gelegenen Fläche des quadratischen Systems, mit oP bezeichnen und sie die gerade Endfläche nennen. Die Lage dieser geraden Endfläche ist durch die Formel

$$(c : \infty b : \infty a)$$

charakterisirt. Fig. 70 stellt die Combination des Octaeders mit der geraden Endfläche dar. Die Bezeichnung oP ist der Kleinheit der Abstumpfungsfäche wegen in Fig. 70 ganz weggelassen.

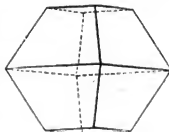


Fig. 70.

In Beziehung auf die Naumann'sche Bezeichnung gilt im rhombischen System, was bereits für das quadratische bemerkt wurde, dass sich nämlich alle vor P angebrachten Zeichen auf die Hauptaxe, alle hinter P angebrachten auf eine kleine Nebenaxe beziehen; ob sie sich auf die grosse oder auf die kleine Nebenaxe beziehen, wird durch ein über P angebrachtes – oder ~ angedeutet.

Die Abstumpfungsfäche des vorderen und hinteren Ecks, welche auf der in der Figur verkürzt erscheinenden horizontalen Axe, also auf der kleinen Diagonale der horizontalen Basis des Rhombenocaeders rechtwinklig steht, soll als mit der Hauptaxe und der Makrodiagonalen parallel laufend stets mit ∞P bezeichnet und die brachydiagonale Endfläche (Endfläche der kleinen Diagonale) genannt werden; die mit ∞P bezeichneten Abstumpfungsfächen (weil sie mit der Hauptaxe und der kleinen Diagonalen parallel laufen) der beiden Ecken rechts und links sollen dagegen die makrodiagonalen Endflächen (Endfläche der grossen Diagonale) heissen.

Man könnte die Endfläche ∞P auch mit P_0 und die Endfläche ∞P auch mit P_1 bezeichnen.

Fig. 71 stellt die Combination des Octaeders P mit der brachydiagonalen Endfläche ∞P , Fig. 72 die Combination des Octaeders mit der makrodiagonalen Endfläche ∞P dar.

Beim regulären System waren die Abstumpfungsfächen aller Octaederecken in gleicher Weise mit ∞O bezeichnet worden, weil sie alle gleich sind; beim quadratischen System waren nur die vier

Endflächen der horizontalen Axen mit demselben Zeichen ∞P , die Endflächen der verticalen Axe aber mit oP bezeichnet worden, dort hatten wir also schon zweierlei Ecken zu unterscheiden; beim rhombischen Octäeder endlich kommen dreierlei Ecken vor, deren Abstumpfungsfächen auch durch drei verschiedene Zeichen, oP , ∞P und ∞P , zu unterscheiden sind.

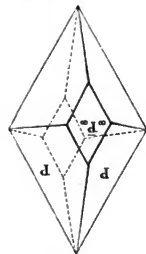


Fig. 71.

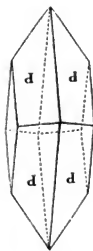


Fig. 72.

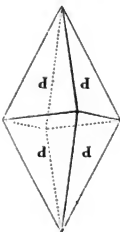


Fig. 73.

Unter den zwölf Kanten des Rhombenocäders, Fig. 73, haben wir auch dreierlei zu unterscheiden, es sind nämlich immer nur die vier in einer Ebene liegenden und eine Raute bildenden Kanten von einerlei Art, also 1) die vier horizontalen Kanten, 2) die vier Kanten, welche in der Ebene der verticalen und der grossen horizontalen Axe, und 3) die vier Kanten, welche in der Ebene der verticalen und der kleinen horizontalen Axe liegen.

Die vier Kanten, welche das obere und untere Eck mit den Ecken rechts und links verbinden, welche also in der Ebene der verticalen und der grossen horizontalen Axe liegen, wollen wir die makrodiagonalen Seitenkanten nennen, sie erscheinen in unserer Figur unverkürzt, die Raute, welche sie bilden, erscheint also hier in ihrer wahren Gestalt.

Die vier Octäederkanten, welche die Endpunkte der verticalen Axe mit denen der kleinen horizontalen verbinden, wollen wir die brachydiagonalen Seitenkanten nennen; da sie in der Ebene der verticalen Axe und der in der Figur verkürzt erscheinenden horizontalen Axe liegen, so erscheint auch die von ihnen gebildete Raute verkürzt.

Durch Abstumpfung der vier horizontalen Kanten des Rhombenocäders entsteht eine vierseitige Säule von rhombischer Basis, deren Flächen wir in Fig. 74 (a. f. S.) wie in den

folgenden entsprechend der quadratischen Säule des vorigen Systems mit ∞P bezeichnen wollen; die Flächen derselben laufen mit der Hauptaxe parallel, während sie die bei den Nebenaxen in den einfachen Entfernungen a und b schneiden. Die von den vier Flächen ∞P gebildete Säule wird als vertikale rhombische Säule oder als vertikales rhombisches Prisma bezeichnet.

Zwei Kanten der Säule ∞P sind spitzwinklig, die beiden anderen aber sind stumpfwinklig, die ersteren wollen wir scharfe, die letzteren stumpfe Kanten nennen. In unserer Figur sind die stumpfen Kanten nach vorn und hinten gerichtet, die scharfen dagegen erscheinen rechts und links.

Fig. 75 zeigt eine Combination des verticalen Prismas ∞P mit den Octäederflächen P , wie sie beim Zinkvitriol, dem Bittersalz u. s. w.

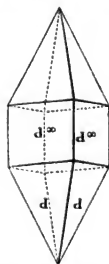


Fig. 74.

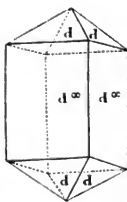


Fig. 75.

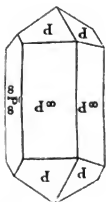


Fig. 76.

vorkommt. Bei diesen Salzen sind die beiden horizontalen Axen fast gleich, sie verhalten sich nämlich wie 1 zu 0,989; daher ist denn auch der horizontale Querschnitt oder die Basis der verticalen Säule ∞P hier fast rechtwinklig; der stumpfe Winkel beträgt nämlich $90^\circ 38'$, daher denn diese Krystalle fast das Ansehen einer quadratischen Säule haben.

Die stumpfen Kanten der Säule ∞P können durch die brachy- diagonale Endfläche ∞P abgestumpft werden.

Die spitzen Kanten der Säule können durch die makrodiagonale Endfläche ∞P , Fig. 76, abgestumpft werden, wie dies z. B. beim Zinkvitriol und dem Bittersalz der Fall ist.

Die Abstumpfungsfächen der vier makrodiagonalen Seitenkanten sind in Fig. 77 und in allen folgenden P ∞ bezeichnet, weil sie mit der kleinen horizontalen Nebenaxe a parallel laufen, während sie die Hauptaxe im einfachen Abstand c , die grosse Nebenaxe im einfachen Abstand b schneiden. Sie bilden ein hori-

zonales rhombisches Prisma, welches wir das makrodiagonale horizontale Prisma nennen wollen.

Fig. 78 stellt eine beim Salpeter vorkommende Combination des verticalen Prismas $\propto P$ mit dem horizontalen Prisma $P \propto$ und der Endfläche $\propto P \propto$ dar.

Fig. 79 stellt eine Form des Salpeters dar, an welcher ausser den Flächen Fig. 78 auch noch die Octäederflächen vorkommen.

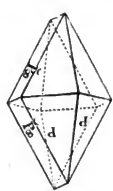


Fig. 77.



Fig. 78.

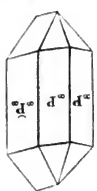


Fig. 79.

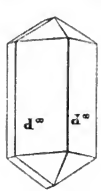


Fig. 80.

Fig. 80 stellt dieselbe Combination dar, wie sie beim Zink-vitrol und Bittersalz vorkommt.

Die Abstumpfungsfächen der vier brachydiagonalen Seitenkanten, welche durch die verticale und die kleine horizontale Axe gehen, sind in Fig. 81 und den folgenden (weil sie mit der Makrodiagonale parallel laufen) mit $P \propto$ bezeichnet; sie bilden ein horizontales Prisma, welches wir das brachydiagonale Prisma nennen wollen.

Fig. 82 stellt eine Combination des brachydiagonalen Prismas $P \propto$ mit dem verticalen Prisma $\propto P$ dar. Es ist dies die Kry stall-Form des ameisensauren Baryts.

Fig. 83 ist eine beim Bittersalz vorkommende Combination des verticalen Prismas $\propto P$ mit den beiden horizontalen Prismen $P \propto$ und $P \propto$, dem Octäeder P und der makrodiagonalen Endfläche $\propto P \propto$.

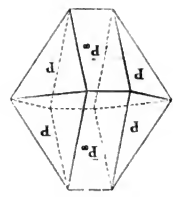


Fig. 81.

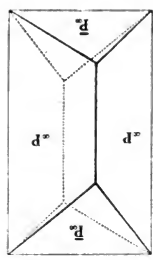


Fig. 82.



Fig. 83.

Wir haben nun der Reihe nach drei verschiedene Prismen kennen gelernt, welche den drei Axen parallel laufen, und unter diesen drei Prismen wird immer dasjenige zum verticalen gewählt, dessen Flächen am meisten vorherrschen, während dann die beiden anderen Prismen nur als kleinere Abstumpfungsfächen erscheinen. Der horizontale Querschnitt des verticalen Prismas $\propto P$ ist, wie schon erwähnt wurde, ein Rhombus, und die beiden Diagonalen dieser Raute sind die beiden horizontalen Axen; sie schneiden sich unter rechtem Winkel, Fig. 84. Dies Alles gilt jedoch nur so lange, als die einzelnen Flächen der Säule $\propto P$ vollkommen gleichmässig ausgebildet sind; wenn jedoch eine der Flächen $\propto P$ mehr nach Innen oder nach Aussen gerückt erscheint, wie dies in der Wirklichkeit meistens der Fall ist, so hat der horizontale Querschnitt nicht mehr die Form einer Raute, sondern eine Gestalt wie der schraffierte Theil in Fig. 85. Die Diagonalen dieses Querschnittes schneiden sich nun nicht mehr unter rechtem Winkel, sie sind also auch durchaus nicht mehr die horizontalen Axen. Nur bei dem idealen Krystalle fallen die Diagonalen des horizontalen Querschnittes mit den horizontalen Axen zusammen.



Fig. 85.



Fig. 84.

Dadurch, dass nicht alle Flächen der Säule $\propto P$ gleichförmig ausgebildet sind, erscheint diese Säule bald mehr, bald weniger platt gedrückt. Es ist dies die gewöhnlichste Verzerrung der Krystalle des rhombischen Systems.

Ganz in derselben Weise, wie beim quadratischen System, kommen auch hier spitzere und stumpfere Octäeder vor, deren Flächen mit $2P$, $3P$ u. s. w. oder mit $1/2P$, $1/3P$ u. s. w. zu be-

zeichnen sind. Fig. 86 zeigt die Combination des Grundoctäeders mit dem stumpferen Octäeder $1/3P$, wie sie beim Schwefel vorkommt. Die den Octäedern $3P$, $2P$, $1/2P$, $1/3P$ u. s. w. entsprechenden horizontalen makrodiagonalen Prismen wollen wir mit $3P_\infty$, $2P_\infty$, $1/2P_\infty$, $1/3P_\infty$ u. s. w., die entsprechenden brachydiagonalen Prismen mit $3P_\infty$, $2P_\infty$, $1/2P_\infty$, $1/3P_\infty$ u. s. w. bezeichnen.

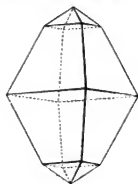


Fig. 87.

Fig. 87 stellt eine Combination der Säule $\propto P$ mit der Abstumpfungsfäche $\propto P_\infty$ und zwei horizontalen makrodiagonalen Prismen, Fig. 88 aber eine Combination der Flächen $\propto P$ und

∞P mit drei horizontalen makrodiagonalen Prismen dar, wie sie beim Salpeter beobachtet werden.

So wie es verschiedene horizontale makrodiagonale und brachydiagonale Prismen giebt, so beobachtet man auch an denselben Krystallspecies verschiedene verticale Prismen. Die verschiedenen verticale Prismen stehen zu einander in einem ganz ähnlichen Verhältnisse, wie die verschiedenen makrodiagonalen oder auch wie die verschiedenen brachydiagonalen horizontalen Prismen.

In Fig. 89 seien rs und tu die beiden horizontalen Axen desjenigen Octäders, welches man als die Grundfigur einer Krystall-



Fig. 87.



Fig. 88.

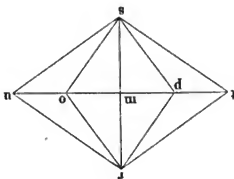


Fig. 89.

species des rhombischen Systems annimmt, so ist die Raute $trus$ zugleich der horizontale Querschnitt des zu diesem Octäder gehörigen verticalen Prismas, dessen Flächen wir mit ∞P bezeichnet haben. Bei derselben Krystallspecies können nun noch andere verticale Prismen vorkommen, für welche, wenn wir die Axe rs als unverändert betrachten, die andere horizontale Axe in einem einfachen Verhältnisse kleiner oder grösser geworden ist. Der Punkt o liege in der Mitte zwischen m und n , p in der Mitte zwischen m und t , so wäre $pros$ der ideale Querschnitt eines verticalen Prismas, dessen Diagonalen gleich sind der brachydiagonalen und der halben makrodiagonalen Axe der Grundform. Die Flächen dieses Prismas wollen wir mit $\infty P^{1/2}$ bezeichnen; ihre Lage ist durch die Formel

$$(a : 1/2 b : \infty c)$$

gegeben.

Denken wir uns die Seiten der Raute $pros$ parallel mit sich selbst nach Aussen geschoben, so erhält man den horizontalen Querschnitt Fig. 90 (a. f. S.) einer Combination der verticalen Säulen ∞P und $\infty P^{1/2}$. Man sieht hier deutlich, wie die Flächen der Säule $\infty P^{1/2}$ die spitze Kante der Säule ∞P abschneiden.

Fig. 91 zeigt eine Combination der verticalen Säulen ∞P und $\infty P_{1/2}$ mit dem Octaëder P , wie sie beim Topas vorkommt. Solche verticale Flächen, welche für sich allein ein Prisma bilden, welches bei unveränderter Brachydiagonale eine doppelte so grosse Makrodiagonale hat als das Prisma ∞P , wollen wir mit ∞P_2 bezeichnen. Diese Säulenflächen schneiden die stumpfen Kanten der Säule ∞P ab, gerade so wie die scharfen Kanten der Säule ∞P durch die Flächen $\infty P_{1/2}$ abgeschnitten werden.

Fig. 90.

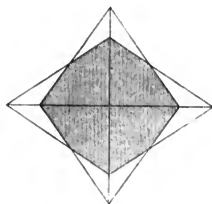


Fig. 91.

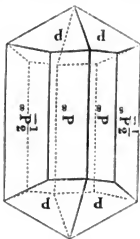
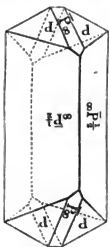


Fig. 92.



Um den Habitus der Krystalle des schwefelsauren Kalis deutlicher zu machen, ist es nöthig, von der bisher befolgten Regel, die grössere der beiden horizontalen Axen in der Figur unverkürzt

zurückführen lassen.

Formen vorkommt, die sich aber alle auf dieselbe Grundform Kalis beschliessen, ein Körper, welcher in sehr verschiedenartigen mit der Untersuchung der Krystallform des schwefelsauren

Wir wollen nun die Betrachtung des rhombischen Systems mit dem Octaëder P und dem horizontalen Prisma ∞P combinirt. Verschwinden der Säule ∞P ausgedehnt; die Säule $\infty P_{1/2}$ ist hier

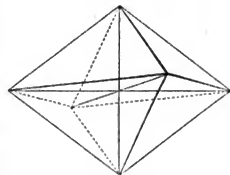
In Fig. 92 sind die Flächen der Säule $\infty P_{1/2}$ bis zum völligen zehnen Flächen von $\infty P_{1/2}$ nicht als längliche Rechtecke erscheinen. bei Combinationen der Säule $\infty P_{1/2}$ mit dem Octaëder P die einkanten der Flächen P und $\infty P_{1/2}$ nicht wagerecht laufen, so dass Prismas, wie man dies Fig. 75 sieht, während die Durchschnittswagerecht, sie stehen rechtwinklig auf den verticalen Kanten des lenflächen ∞P mit den Octaëderflächen P sich schneiden, laufen Säule ∞P gerade aufgesetzt, d. h. die Kanten, in welchen die Säulen Octaëderflächen P sind nämlich auf den Flächen der zugehörigen und $\infty P_{1/2}$ eine wesentliche charakteristische Verschiedenheit, die In ihrer Beziehung zum Grundoctaëder zeigen die Säulen ∞P

darzustellen, so dass sie von der Rechten zur Linken läuft, abzugehen. In den folgenden Zeichnungen mehrerer Formen des schwefelsauren Kalks ist die kleine horizontale Axe die unverkürzte, die grosse horizontale Axe aber die gegen den Beschauer gerichtete also verkürzte. In diesen Figuren sind also auch die vordere und hintere Kante des Prismas $\propto P$ die spitzen Kanten dieser Säule.

Die Buchstaben der Figuren sind dieser veränderten Stellung entsprechend, so dass keine Verwechslung zu befürchten ist.

Fig. 93 zeigt das über die Axen des schwefelsauren Kalks construirte ideale Octaeder. Dieses Octaeder kommt für sich nicht vor. Bezeichnet man die verticale Axe

Fig. 93.



mit 1, so ist die kleine horizontale, also die in unseren Figuren von der Linken zur Rechten laufende, unverkürzt erscheinende Axe 1,303, die grössere horizontale Axe aber ist 1,746.

Fig. 94 stellt eine Combination des Octaeders P mit den Flächen der Säule $\propto P^2$ dar, welche mit $\propto P^{1/2}$ identisch ist. Um die Entstehung dieser Combination leichter übersehen zu können, sind in Fig. 95 die durch die Flächen $\propto P^2$ vom Octaeder P abgeschnittenen Ecken noch mit gezeichnet.

Fig. 95.

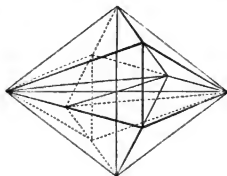
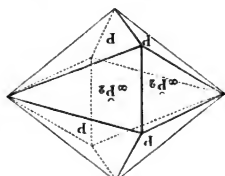


Fig. 94.



Diese Combination, welche häufig vorkommt, hat solche Ähnlichkeit mit einer doppelseitigen Pyramide des hexagonalen Systems, dass sie auf den ersten Anblick leicht damit kann verwechselt werden.

Fig. 96 (a. f. S.) stellt eine Combination der Flächen Fig. 94 mit den Flächen $\propto P^2$ und $\propto P$ vor, welche ebenfalls öfters beobachtet wird.

Denken wir uns die Säule $\propto P^2$ der Combination Fig. 94 in verticaler Richtung mehr ausgedehnt und die vordere Kante der

selben durch die Fläche ∞P abgestumpft, so entsteht die Combination Fig. 97.

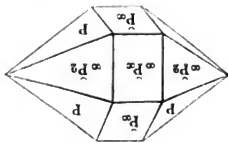


Fig. 96.

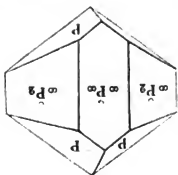


Fig. 97.

Wenn die Säule ∞P_2 der vorigen Figur noch mehr wächst, die Abstumpfungsfäche ∞P wegfällt und statt dessen die Flächen P und $3P$ auftreten, so erhält man die Krystallform Fig. 98, bei welcher die Octäederflächen P nur noch eine verhältnissmässig geringe Ausdehnung haben.

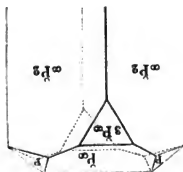


Fig. 98.

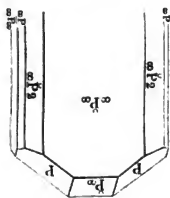


Fig. 99.

Fig. 99 endlich ist eine Combination der Säulen ∞P und ∞P_2 mit der Endfläche ∞P und ∞P , den Octäederflächen P und dem horizontalen Prisma $P\infty$. Durch Vorherrschen der Fläche ∞P erscheint diese Combination mehr tafelförmig.

DAS MONOKLINISCHE SYSTEM.

Die Krystalle dieses Systems haben drei ungleiche Axen, von denen zwei sich nicht rechtwinklig schneiden; die dritte Axe steht rechtwinklig auf der Ebene der beiden schiefwinkligen.

Die Fig. 100 stellt ein diesem Systeme angehöriges Axenkreuz dar; die Axen ab und cd schneiden sich nicht unter rechtem Winkel, die Axe ef aber steht rechtwinklig auf der Ebene der beiden anderen Axen; die

Axe ef macht also sowohl mit der Axe cd als auch mit der Axe ab einen rechten Winkel. Der leichteren Uebersicht wegen sind sowohl in Fig. 100 als auch in den folgenden Figuren, welche Krystalle dieses Systems darstellen, die Axen so gestellt, dass die Ebene der beiden sich schiefwinklig schneidenden unverkürzt erscheint, dass sie also mit der Ebene des Papiers zusammenfällt; der Winkel der beiden Axen ab und cd erscheint demnach in allen diesen Figuren in seiner wahren Grösse, er kann unmittelbar in der Figur gemessen werden.

Die Ebene der beiden Axen ab und cd Fig. 100, welche sich nicht unter rechtem Winkel schneiden, heisst die symmetrische Ebene, während die rechtwinklig auf der symmetrischen Ebene stehende Axe ef die symmetrische Axe genannt wird.

Fig. 101 stellt ein Octaeder des monoklinischen Systems dar. Dieses Octaeder unterscheidet sich wesentlich von den Octaedern der früheren Systeme dadurch, dass es nicht durch acht gleichartige Flächen begrenzt, dass es also gewissermassen kein einfacher Körper mehr ist; auch kommt dieses Octaeder

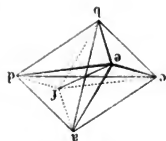


Fig. 101.



Fig. 100.

nie selbstständig vor, sondern nur in Combination mit anderen Formen. Wenn wir das Octäeder als die Grundgestalt des monoklinischen Systems betrachten, um von ihm alle anderen Formen abzuleiten, so geschieht dies nur wegen der Gleichförmigkeit mit anderen Krystallsystemen.

Ihrer Länge nach sind die drei Axen des monoklinischen Systems nicht commensurabel. Wir wollen mit c die halbe Länge der schrägen Hauptaxe ab , mit a die Länge der halben symmetrischen Axe ef und mit b die halbe Länge der Axe cd bezeichnen. Da die acht Flächen des monoklinischen Octäeders nicht gleichartig sind, so dürfen sie auch nicht alle mit den gleichen Buchstaben bezeichnet werden. Während man

die Octäederflächen oben rechts (aed und dfa , Fig. 101) und unten links (ceb und cfb) mit $+P$ bezeichnet, Fig. 102, führen die vier anderen Octäederflächen (oben links und unten rechts) die Bezeichnung $-P$.

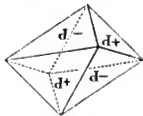


Fig. 102.

Die vier Kanten ce , ed , df und fc sind einander gleich, sie bilden eine Raute; ebenso sind die vier Kanten ae , eb , bf und fa unter einander gleich, oder allgemein gesagt, je vier Octäederkanten, welche in einer auf der symmetrischen Ebene rechtwinkligen Ebene liegen, sind gleichartig.

Die vier Octäederkanten, welche in der symmetrischen Ebene liegen, sind dagegen nicht gleichartig; die Kanten ad und cb , welche den spitzen Winkel der Axe ab und cd überspannen, sind von den Kanten ca und bd verschieden, welche dem stumpfen Winkel dieser Axen gegenüberliegen.

Die mit der Axe ab parallelen Abstumpungsflächen der vier horizontalen Kanten ce , ed , df und fc bilden ein rhombisches Prisma, dessen Kanten gleichfalls mit der Axe ab parallel sind. Die mit der Axe cd parallelen Abstumpungsflächen der Kanten ae , eb , bf und fa bilden gleichfalls ein rhombisches Prisma, dessen Kanten mit der Axe cd parallel sind.

Wir wollen diese Säulen schiefe rhombische Säulen nennen, weil ihre Kanten, mit der einen Axe parallel laufend, auf der Ebene der beiden anderen schiefwinklig stehen.

An allen Krystallen dieses Systems ist eine schiefe rhombische Säule in der Weise vorherrschend, dass sie den Habitus des Krystalls bedingt; wir wollen diese Säule stets so stellen, dass die ihren Kanten parallele Axe zur schrägen Axe ab genommen wird. Die Fig. 103 stellt die schiefe rhombische Säule, oben und

unten durch die Endflächen oP begrenzt dar, welche mit der Ebene der beiden horizontalen Axen parallel läuft; wir wollen die vier Flächen dieser Säule in den folgenden Figuren stets mit ∞P (wo-

mit ausgedrückt sein soll, dass jede dieser Flächen mit der schräg gestellten Axe ab parallel läuft, die symmetrische Axe aber in der Entfernung a , die andere horizontale in der Entfernung b von dem Mittelpunkt schneidet) bezeichnen. Weil die schiefe rhombische Säule ∞P in allen Combinationen dieses Krystallsystems sehr unterschieden ausgebildet ist, so können wir alle übrigen Formen von der Combination Fig. 103 ableiten; wir müssen deshalb diese Form noch näher betrachten.

An dem durch die Basis oP begrenzten schiefen rhombischen Prisma kommen zwölf Kanten vor, die unter sich nicht alle gleichartig sind; man hat vier verschiedene Arten von Kanten zu unterscheiden. Gleichartig sind:

1) Die vordere und die hintere Säulenkante, welche durch die Axe ef verbunden werden.
2) die Säulenkante rechts und die Säulenkante links, welche durch die Axe cd verbunden werden.

Wenn sich die Flächen ∞P in der vorderen und hinteren Säulenkante unter einem spitzen Winkel schneiden, so treffen sie in den Säulenkanten rechts und links in einem stumpfen Winkel zusammen und umgekehrt.

3) Die beiden horizontalen Kanten oben rechts und unten links. In diesen Kanten treffen die Säulenflächen ∞P mit den Endflächen oP unter einem spitzen Winkel zusammen, wir wollen sie deshalb scharfe Grundkanten nennen.

4) An der oberen Grenzfläche die beiden Kanten auf der linken Seite. In diesen Kanten treffen die Säulenflächen ∞P mit den Endflächen oP unter stumpfen Winkel zusammen, wir wollen sie deshalb die stumpfen Grundkanten nennen.

Die vordere und hintere Säulenkante werden durch eine Fläche abgestumpft, welche mit der symmetrischen Ebene parallel läuft, auf der symmetrischen Axe aber rechtwinklig steht. Diese Abstumpfungsfäche, welche wir mit $[\infty P \infty]$ bezeichnen wollen, was ausdrückt, dass diese Flächen mit den beiden Axen der symmetrischen Ebene parallel laufen, macht einen rechten Winkel mit

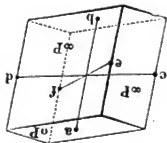


Fig. 103.

der Endfläche ∞P . Diese Fläche $[\infty P \infty]$ kommt, wie wir bald sehen werden, beim essigsäuren Natron vor.

Die Säulenkanten rechts und links werden durch Flächen abgestumpft, welche mit der Ebene der Axen ab und ef parallel laufen, aber auf der Axe cd nicht rechtwinklig stehen. Diese Abstumpfungsfächen der beiden in die symmetrische Ebene fallenden Säulenkanten werden mit $\infty P \infty$ bezeichnet, wie dies auch in Fig. 104 und Fig. 105 gesehen ist. Die Flächen $\infty P \infty$ und ∞P

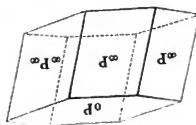


Fig. 104.

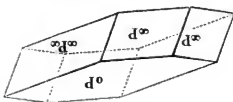


Fig. 105.

scheiden sich nicht rechtwinklig, sondern unter demselben Winkel, den auch die beiden Axen ab und cd mit einander machen. Die Fläche $\infty P \infty$ auf der rechten Seite und die obere Fläche ∞P schneiden sich unter einem spitzen Winkel; ebenso die Fläche $\infty P \infty$ links und die untere Endfläche ∞P . Dahingegen sind die Kanten unten rechts und oben links, in welchen die Flächen $\infty P \infty$ und ∞P zusammenstreffen, stumpfwinklige Kanten. Die Fig. 104 stellt einen Zuckerkristall, die Fig. 105 einen Bleizuckerkristall dar.

Durch Abstumpfung der scharfen Grundkanten der Säule Fig. 103 entsteht die Combination Fig. 106, welche aus ameisensauren Kupferoxyde beobachtet wird. Die Abstumpfungsfächen der scharfen Grundkanten sind nun keine anderen als die Octäederflächen mit $+P$ Fig. 102. Da diese 4 Octäederflächen mit den 4 anderen nicht gleichartig sind, so können sie auch ohne jene vorkommen.

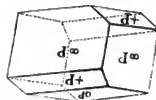


Fig. 106.

Die 4 Octäederflächen $-P$ sind die Abstumpfungsfächen der stumpfen Grundkanten, sie kommen in Combination mit der Säule ∞P und den Endflächen ∞P am essigsäuren Natron vor, Fig. 107. Fig. 108 stellt eine an demselben Salze vorkommende Combination der Säule ∞P , der Octäederflächen $-P$, der schiefen Endfläche ∞P und der verticalen Abstumpfungsfäche $[\infty P \infty]$ vor. Fig. 109 ist dieselbe Combination, nur sind die Flächen $[\infty P \infty]$ weniger, die Flächen $-P$ mehr ausgebildet. Die Fig. 110 stellt dieselbe Combination ohne die Endfläche

Monoklinisches System.

∞P dar, wie sie beim Gyps vorkommt; Fig. 111 stellt eine andere Form des Gypses dar, an welcher ausser den Flächen $[\infty P \infty]$, ∞P und $-P$ noch die Octäederflächen $+P$ vorkommen.

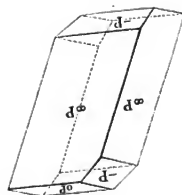


Fig. 107.

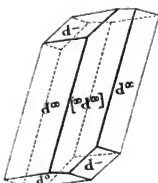


Fig. 108.

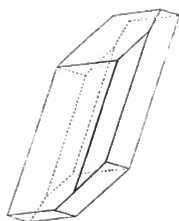


Fig. 109.

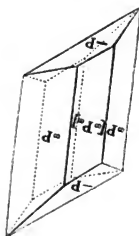


Fig. 110.

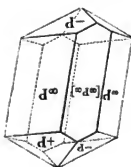


Fig. 111.

(Gehen wir zur Betrachtung derjenigen Flächen über, welche die Ecken der schiefen rhombischen Säule abstumpfen. Unter den 8 Ecken, welche an dem Körper Fig. 103 vorkommen, hat man drei verschiedene Arten zu unterscheiden:

1) Die beiden Ecken, welche die vordere, und die beiden Ecken, welche die hintere Säulenkannte begrenzen.

2) Das obere Eck der Säulenkannte rechts und das untere Eck der Säulenkannte links; hier treffen die erwähnten Säulenkannten unter spitzen Winkel mit den Endflächen ∞P zusammen.

3) Das untere Eck der Säulenkannte rechts und das obere Eck der Säulenkannte links; hier treffen die Säulenkannten unter stumpfem Winkel mit den Endflächen ∞P zusammen.

Die Flächen, welche diese Ecken abstumpfen, sind auch die Abstumpfungsfächen der Octäederkanten, welche in die Ebene der Axen $a b$ und $e f$, und diejenigen, welche in die Ebene der Axen $a b$ und $c d$ fallen.

Die Abstumpfungsfliächen der Octäederkanten ae , eb , bf und fa treten an der schiefen rhombischen Säule als Abstumpfungsfliächen der Ecken auf, durch welche die vordere und die hintere Säulenkannte oben und unten begrenzt werden, wie man dies in Fig. 112, einer Form des schwefelsauren Nickeloxydalkalis, sieht. Diese Fliächen, die wir mit $[P\infty]$ bezeichnen wollen (womit ausgedrückt sein soll, dass jede dieser Ebenen mit einer Axe, nämlich der horizontalen Axe der symmetrischen Ebene parallel läuft, während sie die symmetrische Axe in der Entfernung a , die schräge Säulenaxe aber in der Entfernung c vom Mittelpunkt schneidet), würden weiter ausgedehnt und bis zu ihrer gegenseitigen Durchschneidung wachsend ein horizontales Prisma bilden, dessen Kanten mit der Axe cd parallel laufen; wir wollen deshalb die 4 Abstumpfungsfliächen $[P\infty]$ kurz die Fliächen des horizontalen rhombischen Prismas nennen.

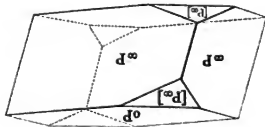


Fig. 112.

Die spitzen Ecken, welche die auf der rechten Seite liegende Säulenkannte der Fig. 103 oben und die links liegende Säulenkannte unten begrenzen, werden, wie man in Fig. 113 sieht, durch Fliächen begrenzt, welche wir mit $+P\infty$ bezeichnen wollen. Wenn die Säulenkannten rechts und links durch die Fliächen $\infty P\infty$ abgestumpft sind, so sind die Fliächen $+P\infty$ die Abstumpfungsfliächen der scharfen Kanten, in welchen $\infty P\infty$ und oP zusammen-

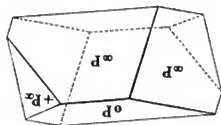


Fig. 113.

treffen, wie man dies Fig. 114 sieht, welche eine Combination des Zuckers vorstellt, an welcher ausser der schiefen rhombischen Säule ∞P den Endfliächen oP , den Fliächen $\infty P\infty$ und $+P\infty$ auch noch die Fliächen des horizontalen rhombischen Prismas $[P\infty]$ vorkommen.

Fig. 115 ist eine beim Eisenvitriol vorkommende Combination

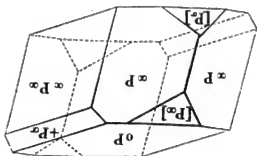


Fig. 114.

von $+P\infty$ mit der schiefen rhombischen Säule ∞P , der Endfläche oP und der Abstumpfungsfäche $[\infty P\infty]$.

Während das obere Eck der Säulenkannte rechts ein spitzes ist, ist das untere ein stumpfes; ebenso ist die Säulenkannte links oben durch ein stumpfes, unten durch ein spitzes Eck begränzt; es können aber sowohl die spitzten Ecken für sich allein abgestumpft sein, wie Fig. 113 und 115, beides Combinationen, welche beim Eisenvitriol vorkommen, als auch die stumpfen, welche in Fig. 116 abgestumpft erscheinen. Diese letzteren Flächen wollen wir zum Unterschiede von den Abstumpfungsfächen der spitzten Ecken mit $-P\infty$ bezeichnen. In Fig. 117 erscheinen die Flächen $+P\infty$ mit den Flächen $-P\infty$. Die Formen Fig. 116 und 117 kommen gleichfalls beim Eisenvitriol vor.



Fig. 115.

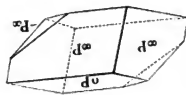


Fig. 116.

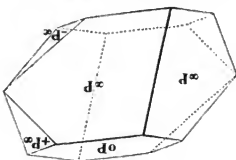


Fig. 117.

Wir bezeichnen mit $[P\infty]$, $-P\infty$ und $+P\infty$ solche Abstumpfungsfächen der Ecken der schiefen rhombischen Säule, welche nicht die Kanten dieses, sondern eines stumpferen oder eines spitzeren Octäeders abstumpfen würden, wollen wir mit $[3P\infty]$, $[2P\infty]$, $[1/2P\infty]$, $[1/3P\infty]$ u. s. w. und mit $+3P\infty$, $+2P\infty$, $+1/2P\infty$, $+1/3P\infty$ u. s. w. oder endlich mit $-3P\infty$, $-2P\infty$, $-1/2P\infty$, $-1/3P\infty$ u. s. w. bezeichnen, je nachdem die schräge Axe dieser Octäeder im Verhältniss zu den horizontalen 3mal, 2mal, $1/2$ mal oder $1/3$ mal so gross ist, als die des Grundoctäeders. Wenn die Abstumpfungsfächen der Ecken der schiefen rhombischen Säule gleichzeitig mit Octäederflächen vorkommen, so kann man leicht unterscheiden, ob sie die geraden Abstumpfungsfächen der Kanten dieses Octäeders sind oder ob sie die Kanten eines spitzeren oder eines stumpferen Octäeders gerade abstumpfen würden, oder nicht, je nachdem die Kanten, in welchen diese Abstumpfungsfächen auf beiden Seiten mit den Octäederflächen zusammenstreffen, der abgestumpften Octäederkannte parallel

sind oder nicht. So sind z. B. die Kanten, in denen die Fläche $+P\infty$, Fig. 118, einer Combination des Eisenwürtzls, zu beiden Seiten mit den Octäederflächen $+P$ zusammentrifft, einander parallel, ebenso in Fig. 119, in welcher die Octäederflächen nur

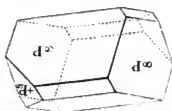


Fig. 119.

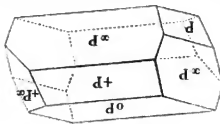


Fig. 118.

weniger ausgebildet sind, die Fläche $+P\infty$ ist also die gerade Abstumpfungsfäche einer Kante des Octäders $+P$; dahingegen sehen wir, dass die Kanten, in denen die mit $+2P\infty$ bezeichnete Fläche, Fig. 120, zu beiden Seiten mit den Octäederflächen $+P$ zusammentrifft, nach oben zusammenlaufen, und daraus ergibt sich, dass die Fläche $+2P\infty$ die Kante eines spitzeren Octäders ist, und zwar eines Octäders, welches bei unveränderter Basis eine doppelte Höhe hat, gerade abstumpfen würde.

Dasselbe gilt auch von den Flächen, welche die Kanten abstumpfen, in denen sich die Octäederflächen $+P$ und $-P$ schneiden; die Kante, in welcher die Fläche $[P\infty]$, Fig. 121 (gleichfalls

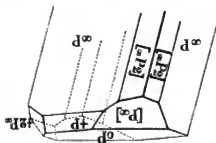


Fig. 120.

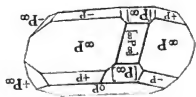


Fig. 121.

eine Form des Eisenwürtzls), mit der Octäederfläche $+P$ zusammentrifft, ist derjenigen parallel, in welcher $[P\infty]$ und $-P$ zusammenstreffen, $[P\infty]$ ist also eine gerade Abstumpfungsfäche der Octäederkante, in welcher $+P$ und $-P$ sich schneiden würden, wenn $[P\infty]$ nicht da wäre.

Wäre $[P\infty]$ durch eine Fläche ersetzt, welche die Kante eines spitzeren Octäders gerade abstumpfen würde, so müssten die Kanten, in welchen diese Fläche mit den Flächen $+P$ und $-P$ sich schneidet, nach oben zusammenlaufen, wäre sie dagegen durch eine Fläche ersetzt, welche die Kante eines stumpferen Octäders gerade abstumpfen würde, so würden die erwähnten Kanten nach oben auseinanderlaufen.

Monoklinisches System.

43

Eine höchst interessante beim Eisenvitriol vorkommende Combination ist die Fig. 122 abgebildete; es kommen an derselben ausser den Flächen ∞P , oP und $[\infty P \infty]$ noch die Flächen $+P$ und $-P$ vor, welche zwischen

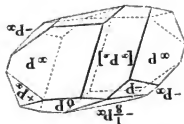


Fig. 122.

die Fläche $-\frac{1}{3}P \infty$ vor, welche zwischen oP und $-P \infty$ erscheint. Die Kanten, welche zu beiden Seiten die Fläche $-\frac{1}{3}P \infty$ begrenzen, die Kanten also, in welchen $-\frac{1}{3}P \infty$ mit den Octäederflächen $-P$ zusammenstösst, laufen nach oben hin auseinander, sie würden also die Kante eines stumpferen Octäeders gerade abstumpfen. Aus den Winkelmessungen ergibt sich, dass das Octäeder, dessen Kante durch diese Fläche gerade abgestumpft würde, bei gleicher Basis eine dreimal geringere Höhe hat, dass es also das Octäeder $-\frac{1}{3}P$ ist und deshalb nennen wir diese Fläche $-\frac{1}{3}P \infty$.

Wenn in einer Combination zugleich die Abstumpfungsfächen verschiedener Ecken der schiefen rhombischen Säule ohne Octäederflächen vorkommen, wie in Fig. 123, der Krystallform der Chinasäure, so hält es schwer, durch

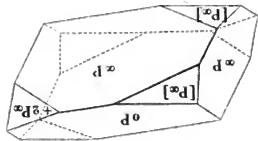


Fig. 123.

den blossen Anblick zu entscheiden, ob diese verschiedenen Abstumpfungsfächen die Kanten des selben oder verschiedener Octäeder gerade abstumpfen würden; hier kann nur die Winkelmessung entscheiden.

So wie bei dem rhombischen Systeme verschiedene rhombische Säulen vorkommen, die wir mit ∞P , $\infty P 2$ u. s. w. bezeichnet haben, so kommen auch bei dem monoklinischen Systeme verschiedene schiefe rhombische Säulen vor, welche zu einander in demselben Verhältnisse stehen, wie die entsprechenden Säulenflächen des rhombischen Systems, und die wir deshalb auch hier mit ∞P , $[\infty P 2]$ u. s. w. bezeichnen wollen.

Das Zeichen $[\infty P 2]$ soll eben ausdrücken, dass die damit bezeichneten Flächen mit der schräg gestellten Axe parallel laufen, die symmetrische Axe in der Entfernung a , die andere horizontale Axe aber in der Entfernung $2b$ schneiden.

Fig. 124 (a. f. S.) stellt eine Combination des schwefelsauren Nickeloxydkalits vor, in welcher die Säulenflächen ∞P und $[\infty P 2]$ vorkommen.

Die Kristalle dieses Systems erscheinen unter anderen besonders oft dadurch verzerrt, dass die 4 Flächen der Säule ∞P nicht gleichförmig ausgebildet sind, wodurch diese Säule plattgedrückt

erscheint, und zwar ganz in der Art, wie wir es schon beim vorigen Systeme

gesehen haben.

Ohne in eine nähere Betrachtung dieser Verzerrungen einzugehen, wollen wir nur eine näher untersuchen, welche manchmal beim Eisenvitriol vorkommt, und sehr geeignet ist, zu zeigen, wie

sehr oft durch Verzerrungen der Grundtypus der Kristalle unkenntlich wird. Die Fig. 125 dargestellte Kristallform ist nichts als eine Verzerrung der idealen Gestalt Fig. 126, welche wir schon

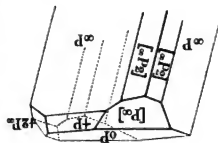


Fig. 124.

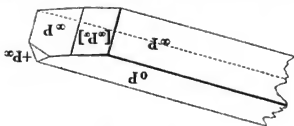


Fig. 125.



Fig. 126.

Betrachtungen über die Form der einzelnen Flächen anstellen. Sämtliche Flächen der Combination Fig. 103, d. h. der schiefen rhombischen Säule ∞P mit der Endfläche oP , sind schiefwinklige Parallelogramme.

Die Fläche ∞P erscheint stets als ein rechtwinkliges Parallelogramm, wenn sie mit der Endfläche oP zusammenstößt, wie in Fig. 104 und 105, oder wenn sie oben oder unten durch die Flächen $+P$ ∞ begrenzt ist, wie in Fig. 114; die Abstumpfungsfäche $[\infty P]$ dagegen erscheint als schiefwinkliges Parallelogramm, wenn sie direct an die Fläche oP stößt, wie Fig. 115, oder wenn sie von ihr noch durch die Flächen $[P]$ getrennt ist, wie Fig. 121.

Die Kanten, welche die Flächen $[P\infty]$ mit der Endfläche oP bilden, stehen rechtwinklig auf denen, in welchen die Flächen $+P\infty$ mit der Endfläche oP zusammenstossen.

Die Flächen $+P\infty$ in der Combination Fig. 113 und die Flächen $-P\infty$ Fig. 116 sind gleichschenkelige Dreiecke und zwar sind die beiden Kanten einander gleich, in welchen sie mit den Säulenflächen ∞P zusammenstossen, dagegen sind die Flächen $[P\infty]$ ungleichschenkelige Dreiecke.

Die verschiedenen Krystallspecies des monoklinischen Systems unterscheiden sich nicht allein durch ein verschiedenes Grössenverhältniss der Axen, sondern auch durch eine ungleiche Neigung der Axen ab und cd gegen einander. Beim Gyps z. B. schneiden sich diese Axen unter einem Winkel von $81^{\circ}26'$, beim Eisenvitriol unter einem Winkel von $75^{\circ}40'$.

DAS TRIKLINISCHE SYSTEM.

Keine der drei Axen dieses Systems bildet mit einer der beiden anderen einen rechten Winkel; alle drei Axen sind ungleich.

Das Octaëder dieses Systems, welches als selbstständige Gestalt nie vorkommt, ist durch 8 Flächen gebildet, von denen immer nur je zwei parallele gleichartig sind, dieses Octaëder ist also durch viererlei verschiedene Flächen gebildet, es können also in Combinationen mit anderen Flächen je zwei parallele Octaëderflächen ohne die 6 anderen vorkommen.

Was eben von den Flächen des Octaëders gesagt wurde, gilt auch von den Kanten und Ecken desselben; nur die diametral einander gegenüberliegenden Kanten und Ecken sind gleichartig und von allen übrigen Ecken und Kanten verschieden.

Der schiefe rhombischen Säule des vorigen Systems entspricht die schiefe Säule Fig. 127, doch sind hier ebenfalls nur je zwei parallele Flächen, nur je zwei parallele Kanten und nur je zwei diametral gegenüberliegende Ecken gleichartig.

Die Krystallform Fig. 127 kann als die Grundform des schwefelsauren Kupferoxyds betrachtet werden; alle übrigen Gestalten dieses Salzes lassen sich durch Abstumpfung der Ecken und Kanten der Fig. 127 ableiten.

Fig. 127.

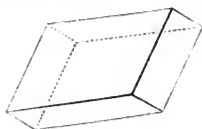


Fig. 128.

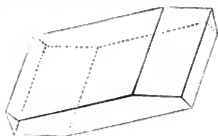


Fig. 128 stellt eine der einfachen Combinationen des schwefelsauren Kupferoxyds dar, welche jedoch deutlich den Grundtypus dieses Salzes zeigt.

Die Charakterisirung der wesentlichsten Eigentümlichkeiten dieses Systems mag hier um so eher genügen, als ein weiteres Eingehen nicht ohne Schwierigkeiten möglich wäre, während auf der anderen Seite doch nur wenig Mineralien und Salze diesem Systeme angehören, welches durch den gänzlichen Mangel an Symmetrie den vollständigen Gegensatz zum regulären Systeme bildet.

DIE HEMIÉDRIE.

Wir haben oben in Fig. 5 S. 2 einen Quarzkrystall betrachtet, an welchem drei der Pyramidenflächen sehr bedeutend gegen die drei übrigen zurücktreten, so zwar, dass die drei vorherrschend gebliebenen Pyramidenflächen unter sich eine dreiseitige Pyramide bilden.

Manchmal kommt es nun vor, dass dieses Zurücktreten oder auch das gänzliche Verschwinden einzelner Flächen der vollen Krystallgestalt nach einem bestimmten Symmetriegesetz erfolgt und dann entstehen Krystallformen, welche nur durch halb so viel Flächen begrenzt sind, wie die entsprechende volle Krystallgestalt. Diese Halbflächenner nun werden als hemiédrische Gestalten bezeichnet, im Gegensatz zu den holoédrischen, welche durch die volle Anzahl gleichartiger Flächen gebildet werden.

Denken wir uns am idealen Octäeder des regulären Systems Fig. 129 die vordere Fläche oben links nebst denjenigen drei Fla-

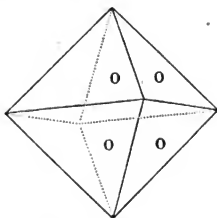


Fig. 129.

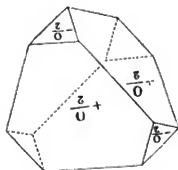


Fig. 130.

chen, welche mit derselben nur in einer Spitze zusammenstreffen, weiter vom Mittelpunkt des Körpers weggerückt, während dabei die übrigen vier Flächen wachsen, so entsteht der Körper Fig. 130,

wenn sie endlich bis zu ihrem völligen Verschwinden hinausgerückt werden, so erhält man den Vierflächner, das Tetraeder Fig. 131.

Das Tetraeder ist also aus dem Octaeder in der Weise entstanden, dass die Hälfte der Octaederflächen bis zum Verschwinden der übrigen gewachsen sind.

Um die Beziehungen des Tetraeders zu dem Octaeder anschaulicher zu machen, aus welchem es entstanden ist, sind beide in Fig 132 zusammengestellt. Das Tetraeder *h i l k* ist entstanden durch das Wachsen der Octaederflächen *a f d*, *a b g*, *b f c* und *c g d*.

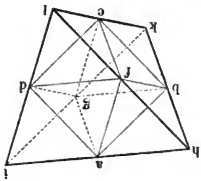


Fig. 132.

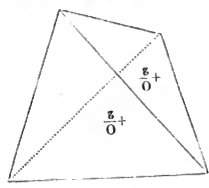


Fig. 131.

Durch jedes Octaederreck geht eine Tetraederkante, und zwar bildet die Stelle des Octaederrecks die Mitte der Tetraederkante. Die Tetraederkante *h i* ist parallel mit *f d* und *b g*; *h l* ist parallel mit *a d* und *b c* u. s. w.

Die 4 Flächen des Tetraeders sind gleichseitige Dreiecke und die 6 Kanten desselben sind einander gleich.

Das Tetraeder *h i l k* Fig. 132 ist also durch das Wachsen der Hälfte der Octaederflächen entstanden. Denken wir uns aber gerade diejenigen Flächen des Octaeders gewachsen, welche in dem Tetraeder Fig. 132 verschwinden sind, also die Octaederflächen *b f a*, *a g b*, *b c f* und *a c g*, so entsteht das Tetraeder *m n o p* Fig. 133. Das Tetraeder Fig. 133 unterscheidet sich von dem Tetraeder Fig. 132 nur durch seine Stellung. Dadurch, dass man das Tetraeder der Fig. 133 um seine verticale Axe *a c* um 90° dreht, kommt es in die Stellung des Octaeders Fig. 132 und ist nun mit ihm vollkommen congruent.

Einen solchen Fall der Hemihedrie, bei welchem, wie hier, die beiden aus derselben Grundgestalt abgeleiteten hemihedratischen Formen einander vollkommen gleich und nur durch ihre Stellung

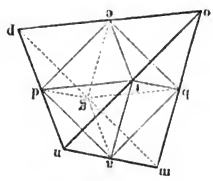


Fig. 133.

Möller, Kystallographie.

verschieden sind, nennt man eine congruente oder überdeckbare Hemihedrie.

Zur Unterscheidung der beiden Tetraëder wollen wir das eine Fig. 132 als das + Tetraëder, das andere Fig. 133 als das — Tetraëder bezeichnen.

Fig. 134 und Fig. 135 stellen Combinationen des Würfels mit einem Tetraëder dar, und zwar Fig. 134 eine solche, bei welcher

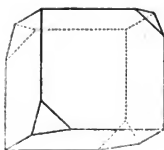


Fig. 134.

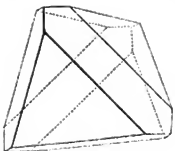


Fig. 135.

der Würfel, Fig. 135 eine solche, bei welcher das Tetraëder vor-

Unter den übrigen hemihedratischen Formen des regulären Systems ist die Hemihedrie des 24-Flächners (Pyramidenwürfels) Fig. 136 besonders wichtig. Denken wir uns die vordere und hintere Fläche der oberen sowohl wie der unteren Pyramide des Körpers Fig. 136; ferner die Fläche rechts und die Fläche links der vorderen und der hinteren Pyramide und endlich die obere und untere Fläche der Pyramiden auf der linken und der rechten Seite, kurz alle diejenigen Flächen, welche, soweit sie auf der Vorderseite des Krystalls Fig. 136 liegen, mit + bezeichnet sind, so weit ausgedehnt, dass die 12 übrigen Flächen verschwinden, so entsteht der Körper

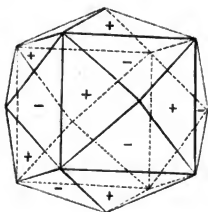


Fig. 136.

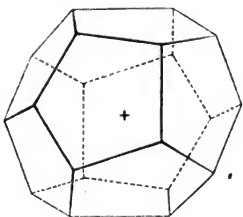


Fig. 137.

Fig. 137, welcher Pentagonal-Dodekaëder genannt wird, weil er durch 12 Fünfecke eingeschlossen wird.
Das Pentagonal-Dodekaëder kommt häufig allein oder in Com-

bination mit holödrischen Formen des regulären Systems beim Schwefelkies vor.

Denken wir uns diejenigen 12 Flächen des Pyramidenwürfels Fig. 136, welche im Pentagonal-Dodekaeder Fig. 137 verschwinden sind, also diejenigen Flächen, welche, so weit sie auf der Vorderseite des Krystalls liegen, in Fig. 136 mit — bezeichnet sind, bis zum Verschwinden der + Flächen gewachsen, so entsteht das Pentagonal-Dodekaeder Fig. 138. Die beiden Pentagonal-Dodekaeder Fig. 137 und Fig. 138 stehen in ähnlicher Beziehung zu einander, wie die beiden Tetraeder Fig. 132 und Fig. 133. Denken wir uns den Krystall Fig. 138 um seine verticale Axe um 90° gedreht, so kommt er in die Stellung Fig. 137, wir haben also auch hier den Fall einer congruenten oder überdeckbaren Hemiedrie.

Die Fig. 138 dürfte dem Anfänger vielleicht nicht ganz so verständlich vorkommen, wie Fig. 137, was nur daher rührt, dass in Fig. 138 zwei der 12 Pentagone, welche den Körper begrenzen, vollständig zur Linie verkürzt erscheinen.

Bei dem hexagonalen System spielen die hemiedrischen Formen eine grosse Rolle. Die wichtigste derselben ist das Rhomboeder Fig. 139. Es ist die hemiedrische Gestalt der doppelt

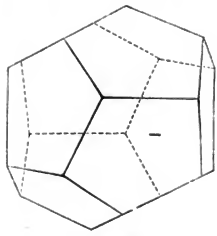


Fig. 138.

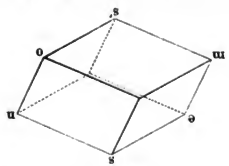


Fig. 139.

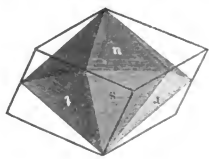


Fig. 140.

sechseckigen Pyramide, d. h. man kann sich aus dieser das Rhomboeder dadurch abgeleitet denken, dass die Hälfte der Flächen bis zum Verschwinden der übrigen wächst.

Denken wir uns von der oberen Pyramide Fig. 140 die Flächen r, t und diejenige auf der hinteren Seite, welche s gegenüberliegt, von der unteren Pyramide aber gerade diejenigen Flächen gewachsen, welche in einer Kante mit den ausgefallenen Flächen der oberen Pyramide zusammenfallen, so entsteht das

Rhomboëder, wie es in Fig. 140 durch die starken Linien angedeutet und in Fig. 139 für sich allein dargestellt ist. — Es ist dieses der Grundgestalt des Kalkspaths.

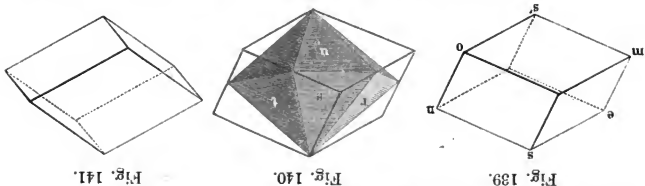


Fig. 142.

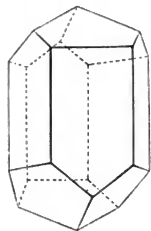


Fig. 142 zeigt eine Combination dieses Rhomboëders mit der regulären sechsseitigen Säule. Während aus der doppelt sechsseitigen Pyramide Fig. 140 durch Wachsen der einen Hälfte der Flächen das Rhomboëder Fig. 141 entsteht, so entsteht durch Wachsen der anderen Hälfte der Flächen das Rhomboëder Fig. 139 und Fig. 141 sind nur durch ihre Stellung verschieden, im Uebrigen aber vollkommen gleich, so dass man jedes durch Drehung um seine verticale Axe in die Stellung des anderen bringen kann; wir haben also hier gleichfalls ein Beispiel der überdeckbaren Hemihädie.

Die Kanten des Rhomboëders sind nicht gleichartig; man hat zweierlei Kanten zu unterscheiden. Gleichartig unter sich sind die drei Kanten, welche in s und s' , Fig. 139, zusammenlaufen. Von diesen verschieden, aber unter sich gleichartig sind die Kanten em , mq , qo , on , nr , re (q und r fehlen in Fig. 139; es soll damit das vorderste und das hinterste Eck des Krystalls bezeichnet werden). Beim Kalkspath, der nach der Richtung der Rhomboëderflächen spaltbar ist, so dass man aus jedem Krystall ein Spaltungsrhomboëder von der Form Fig. 139 erhalten kann, schneiden sich in den Kanten es , qs , ns , ms , os' und rs' zwei Flächen unter einem Winkel von $105^\circ 5'$, in den übrigen Kanten aber unter einem Winkel von $74^\circ 55'$; man hat also an einem solchen Kalkspath-rhomboëder stumpfe und scharfe Kanten zu unterscheiden. Das salpetersaure Natron krystallisirt in Rhomboëdern, welche denen des Kalkspaths sehr ähnlich sind; auch diese Krystalle sind in der Richtung der Rhomboëderflächen sehr vollkommen spaltbar.

Auch die Ecken des Rhomboeders sind von zweierlei Art. In *s* und *s'* nämlich treffen immer drei stumpfe Kanten zusammen, in jeder der anderen Ecken aber zwei scharfe und eine stumpfe. Erstere wollen wir stumpfe, letztere spitze Ecken nennen.

Denken wir uns die scharfen Kanten *em*, *mq*, *go*, *on*, *nr* und *re* des Rhomboeders durch Flächen abgestumpft, welche mit der Hauptaxe parallel laufen, so entsteht eine sechseckige Säule, welche sowohl oben als unten durch Rhomboederflächen begrenzt ist, eine Combination, welche häufig beim Kalkspath vorkommt.

Die Hauptaxe des Kalkspathrhomboeders geht durch die Mitte der stumpfen Ecken, d. h. sie macht gleiche Winkel mit jeder der drei stumpfen Kanten.

Wir haben bisher nur solche Rhomboeder betrachtet, an welchen alle Flächen gleichmässig ausgebildet sind, was meistens nicht der Fall ist. Ein ganz regelmässig ausgebildetes Rhomboeder dürfte man z. B. nur in zwei Stücke spalten, um zwei rhomboedrische Stücke zu erhalten, deren Flächen nicht mehr gleich sind. Durch eine solche Zertheilung wird aber die gegenseitige Lage der Flächen, die Grösse der Winkel nicht im mindesten geändert; man unterscheidet vor wie nach scharfe und stumpfe Kanten, spitze und stumpfe Ecken. Die Richtung der Hauptaxe ist immer derjenigen Linie parallel, welche gleiche Winkel mit jeder der drei in einem stumpfen Eck zusammenlaufenden Kanten macht.

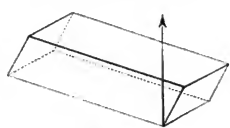


Fig. 143.

Fig. 143 stellt ein verzerrtes Kalkspathrhomboeder dar, bei welchem der leichteren Orientirung wegen die Richtung der Hauptaxe durch einen Pfeil angedeutet ist.

Den verschiedenen sechseckigen Pyramiden derselben Krystallspecies entsprechen auch verschiedene Rhomboeder, d. h. Rhomboeder, für welche bei gleicher Grösse der Nebenaxen die Hauptaxe 2mal, 3mal, 4mal u. s. w. grösser oder kleiner ist als bei demjenigen Rhomboeder, welches man zum Hauptrhomboeder gewählt hat. So stellen z. B. Fig. 144 und Fig. 145 (a. f. S.) das nächst stumpfere und das nächst spitzere Rhomboeder des Kalkspaths dar, wenn man Fig. 139 zum Hauptrhomboeder dieses Minerals nimmt. Bei gleicher Grösse der Nebenaxen ist die Hauptaxe des Rhomboeders Fig. 144 halb so gross, die des Rhomboeders Fig. 145 ist doppelt so gross, als die des Rhomboeders Fig. 139.

Eine andere wichtige hemiedrische Form des hexagonalen Systems ist das Skalenöder Fig. 146. Es ist die Hemiedrie einer

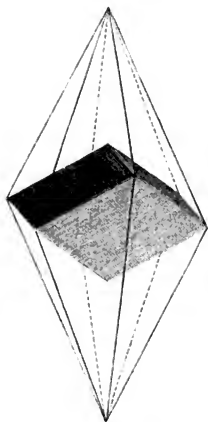


Fig. 146.

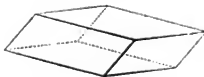


Fig. 144.

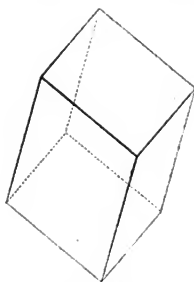


Fig. 145.

symmetrisch zwölfseitigen Pyramide. Charakteristisch für diese Form ist es, dass ihre Seitenkanten die gleiche Lage haben wie die Seitenkanten eines Rhomböders, dass man sich also jedes Skalenöder leicht so vorstellen kann, als ob durch die Seitenkanten eines Rhomböders Flächen nach einem Punkt der verlängerten Hauptaxe gelegt wären, welcher um die 2fache, 3fache, 4fache u. s. w. Länge der verticalen Halbhaxe des Rhomböders von der Mitte des Krystalls absteht.

Manchmal kommt es vor, dass von einer hemiedrischen Form selbst nur die Hälfte der Flächen auftritt, so dass von der ursprünglichen holödrischen Gestalt nur noch der vierte Theil der Flächen übrig bleibt. Solche Formen werden als tetartoëdrische bezeichnet. Ein interessantes Beispiel von Tetartoëdrie liefert die Hemiedrie des Skalenöders, welches ja selbst, wie wir gesehen haben, eine hemiedrische Gestalt ist. Selbstständig kommt die Hemiedrie des Skalenöders nicht vor, sondern nur in Combination mit anderen Formen, wie z. B. in den Quarzkrystallen In Fig. 147 und Fig. 148. In Fig. 147 sehen wir, dass das Eck oben rechts an der vor-

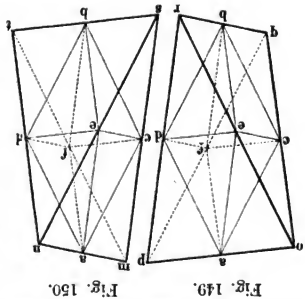
ersten Säulenfläche durch eine kleine Fläche abgestumpft ist.

Diese Abstumpfungsfäche gehört ihrer Lage nach einem Skalenoeder an. Von den 6 oberen Flächen dieses Skalenoeders treten oben an dem Krystall

Fig. 147 nur 3 auf, nämlich die eben bezeichnete und zwei weitere, welche die rechts und links liegende hintere Säulfläche in gleicher Weise abstumpfen, so dass die Abstumpfungsfäche oben rechts liegt, wenn man die entsprechende Säulfläche gerade vor sich hält. An den drei Säulflächen, welche oben rechts nicht abstumpft sind, erscheinen dagegen die Ecken unten-links durch Skalenoederflächen abgestumpft.

Die 6 Skalenoederflächen, welche in der Combination Fig. 147 fehlen, treten dagegen in der Combination Fig. 148 auf. Hier erscheinen die Säulflächen oben-links und unten-rechts durch Skalenoederflächen abgestumpft. Die beiden tetartoidrischen Formen Fig. 147 und Fig. 148 sind übrigens nicht congruent; man kann die in Fig. 147 dargestellte Form durch Drehung um ihre verticale Axe nicht in eine solche Lage bringen, dass die Abstumpfungsfäche oben links an einer Säulfläche erscheine.

Fig. 149 und Fig. 150 stellen die unter dem Namen der Sphenoid bekannten Halbfächner eines rhombischen Octaë-



ders dar. Die Dreiecke, durch welche diese Tetraeder begrenzt werden, sind ungleichseitig und deshalb kann man auch das Tetraeder Fig. 150 dadurch, dass man es um seine verticale Axe um 90° dreht, nicht in die Stellung des Tetraeders Fig. 149 bringen, wie sich am besten übersehen lässt, wenn man die beiden Körper in geometrischem Grundriss

darstellt, wie dies in Fig. 151 und Fig. 152 geschehen ist. Die beiden rhombischen Tetraëder (Sphenoid) sind nicht congruent,

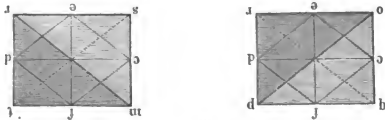


Fig. 152.

Fig. 151.

sie verhalten sich aber wie Gegenstand und Spiegelbild, wie rechte und linke Hand. Wir haben also hier den Fall einer nicht congruenten oder nicht überdeckbaren Hemiedrie.

Die Sphenoid kommen übrigens nicht isolirt vor, sondern nur in Combination mit anderen Flächen, namentlich mit der rhombischen Säule. Die Figur 153 stellt eine Combination der geraden rhombischen Säule mit dem rhombischen Octaëder

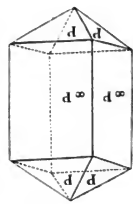


Fig. 153.

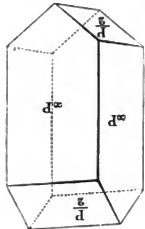


Fig. 154.

dar, wie sie den Axenverhältnissen des Zinkvitriols entspricht. Wenn nun hier die Hälfte der Octaëderflächen durch Wachsen der benachbarten Flächen verschwindet, so entsteht die Combination Fig. 154, welche beim Zinkvitriol und beim Bittersalz häufig beobachtet wird.

Auch im monoklinischen Systeme kommen Hemiedrien vor, so z. B. bei den Zuckerkristallen Fig. 114 S. 40, wo die Flächen $[P\infty]$ an der vorderen Säulenkannte oft fehlen, während sie an der hinteren vorhanden sind.

ZWILLINGSBILDUNG.

Sehr häufig kommt es vor, dass zwei oder mehrere Krystall-individuen bei verschiedener Axenlage nach einem bestimmten Symmetriegesetz zusammengeachsen sind und auf diese Weise die sogenannten Zwillingskrystalle bilden. Die Zwillingskrystalle sind entweder Berührungszwillinge, wenn sich die beiden zusammengeachsenen Individuen nur bis zur Zusammensetzungsebene erstrecken, Durchkreuzungszwillinge, wenn sie über diese Zusammensetzungsebene hinaus verwachsen sind, wenn sie sich gleichsam durchdringen.

Die Fig. 155 stellt eine beim Magnetkies häufig vorkommende Zwillingsbildung dar. Zwei Octäederfragmente sind so mit

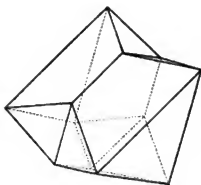


Fig. 155.

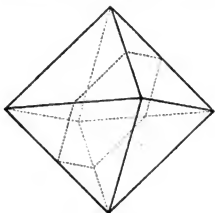


Fig. 156.

einander verwachsen, wie wenn ein Octäeder Fig. 156 parallel mit einer Octäederfläche durchgeschnitten und die eine Hälfte gegen die andere um 180° gedreht worden wäre.

Solche Berührungszwillinge kommen in allen Krystallsystemen vor. Fig. 157 (a. f. S.) zeigt eine häufig beim Arragonit (rhombisches System) und Fig. 158 zeigt eine beim Gyps (monoklinisches System) vorkommende Zwillingsbildung.

Ein sehr schönes Beispiel von Durchdringungszwillingen liefert der Salmiak. Sie sind durch zwei einander theilweise durchdringende Würfel Fig. 159 gebildet.

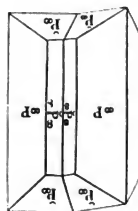


Fig. 157.

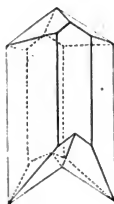


Fig. 158.

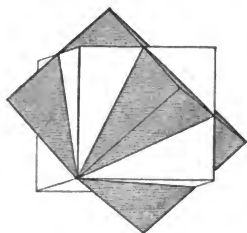


Fig. 159.

In den meisten Fällen sind die Zwillingsbildungen durch einspringende Winkel charakterisirt, wie solche in der That bei allen bisher angeführten Beispielen vorkommen. Solche einspringende Winkel kommen bei einem einfachen Krystallindividuum nie vor.

ÜBERSICHT DER WICHTIGSTEN FORMEN DER VERSCHIEDENEN KRYSTALLSYSTEME.

1. Das reguläre System.

Naumann'sche
Formel.

- O Octaëder. Acht Flächen, welche jede der drei Axen in gleichem Abstand (a) vom Mittelpunkt des Axenkreuzes schneiden.
- $\infty O \infty$ Würfel. Sechs Flächen, welche zu je zweien auf einer Axe rechtwinklig stehen und mit den beiden anderen parallel laufen.
- ∞O Rhombendodekaëder. Zwölf Flächen, welche mit einer Axe parallel laufen, aber die beiden anderen in der Entfernung a vom Mittelpunkt schneiden. Jede Ikosi-Tetraëder, Vierundzwanzigflächenner. Jede Fläche dieses Körpers schneidet eine Axe in der Entfernung a , die beiden anderen aber in der Entfernung na (wo n irgend eine ganze Zahl bezeichnet) vom Mittelpunkt. Der Körper 202 wird Leucitoëder, der Körper 303 wird Leucitoid genannt.
- $nO \infty$ Tetraakis-Hexaëder, Viermal-Sechsfächenner. Die Flächen dieses Körpers schneiden eine Axe in der Entfernung a , die zweite in der Entfernung na (der Werth von n ist $2, \frac{5}{2}, 3$ oder 5) vom Mittelpunkt und laufen mit dem dritten parallel.
- nO Triakis-Octaëder, Dreimal-Achtflächenner, ein Körper, dessen Flächen zwei Axen in der Entfernung a , die dritte aber in der Entfernung na schneiden. Bei den in der Natur

vorkommen den Dreimal-Achtfächern ist n entweder 2, oder $\frac{3}{2}$, oder 3.

2. Das quadratische System.

P Das Quadrat-Octaëder, eine vierseitige Doppelpyramide von quadratischer Basis. Die Flächen dieses Octaëders schneiden die beiden horizontalen Nebennaxen in der Entfernung a vom Mittelpunkt, die verticale Hauptaxe aber in der Entfernung c .

nP Quadratische Doppelpyramiden, welche bei gleicher Basis mit der Pyramide P die n -fache Höhe haben, wo n irgend eine ganze Zahl bezeichnet. Je grösser n wird, desto steiler wird die Pyramide, für $n = \infty$ aber geht sie in eine verticale quadratische Säule ∞P über.

$\frac{1}{n}P$ Quadratische Doppelpyramiden, welche bei gleicher Basis mit dem Quadratoctaëder P eine n -mal geringere Höhe haben. Für $\frac{1}{n} = 0$ geht die Pyramide in eine Fläche

oP über, welche mit den horizontalen Nebennaxen parallel läuft, also auf der verticalen Hauptaxe senkrecht steht. Quadratische Säule, deren Flächen mit der Hauptaxe und mit einer Nebennaxe parallel laufen, aber auf der zweiten Nebennaxe rechtwinklig stehen.

$P \infty$ Quadratoctaëder, dessen Flächen mit einer Nebennaxe parallel laufen, die andere Nebennaxe aber in der Entfernung a , die Hauptaxe in der Entfernung c schneiden.

$nP \infty$ Quadratoctaëder, welches bei gleicher Basis mit $P \infty$ die n -fache Höhe hat.

3. Das hexagonale System.

P Doppelsechseckige Pyramide, deren Flächen mit einer Nebennaxe parallel laufen, die beiden anderen in der Entfernung a , die verticale Hauptaxe aber in der Entfernung c schneiden.

nP Sechsseitige Doppelpyramide, welche bei gleicher Basis mit der Pyramide P die n fache Höhe hat. Für die Granzwerthe $n = 0$ und $n = \infty$ geht die sechsseitige Doppelpyramide über in
 oP die gerade Endfläche, auf der Hauptaxe rechtwinklig stehend und mit den drei Nebenaxen parallel laufend, und in
 ∞P die reguläre sechsseitige Säule, deren Flächen mit der Hauptaxe parallel laufen.

4. Das rhombische System.

P Das rhombische Octaëder, eine vierseitige Doppelpyramide mit rhombischer Basis. Die Flächen dieses Körpers schneiden die vertical gestellte Hauptaxe in einer Entfernung c , die kleinere Nebenaxe in einer Entfernung a , die grössere in einer Entfernung b vom Mittelpunkt ($a > b$).
 nP Rhombische Octaëder, welche bei gleicher Basis mit P die n fache Höhe haben. Die Grenzformen dieser Pyramidenreihe sind
 oP eine Pyramide, deren Höhe gleich Null ist, deren vier Flächen also in eine einzige (die gerade Endfläche) zusammenfallen, welche auf der Hauptaxe rechtwinklig steht, und
 ∞P die rhombische Säule, deren Flächen und Kanten mit der Hauptaxe parallel laufen.
 ∞P Flächen, welche auf der kleinen Nebenaxe rechtwinklig stehend mit der Hauptaxe und der grossen Nebenaxe parallel laufen.
 ∞P Flächen, welche auf der grossen Nebenaxe rechtwinklig stehend mit der Hauptaxe und der kleinen Nebenaxe parallel laufen.
Die Flächen ∞P und ∞P bilden zusammen eine verticale Säule von rechteckigem Querschnitt.
 $P \infty$ Eine horizontale rhombische Säule, deren Flächen der grossen Nebenaxe parallel und den brachy-diagonalen Kanten des Octaëders P parallel laufen.

Die Flächen dieser Säule werden auch als makrodiagonales Doma bezeichnet.
 P_{∞} Eine horizontale rhombische Säule, deren Flächen mit der kleinen Nebenaxe und den makrodiagonalen Kanten des Octäders P parallel laufen.
 Die Flächen dieses Prismas werden auch als brachydiagonales Doma bezeichnet.
 ∞P_n Eine vertikale Säule, deren Flächen mit der Hauptaxe parallel laufen, die grosse Axe in der Entfernung nb , die kleine aber in der Entfernung a schneiden.
 $\infty P \frac{1}{n}$ Ist identisch mit ∞P_n .
 $n \bar{P}_{\infty}$ Eine horizontale Säule, deren Flächen mit der grossen Nebenaxe und den brachydiagonalen Seitenkanten des Octäders nP parallel laufen.
 $n P_{\infty}$ Eine horizontale Säule, deren Flächen mit der kleinen Nebenaxe und den makrodiagonalen Kanten des Octäders nP parallel laufen.

5. Das monoklinische System.

$+P$
und
 $-P$

Die Flächen des monoklinischen Octäders sind von zweierlei Art und deshalb durch die Zeichen $+$ und $-$ unterschieden.
 ∞P Die schiefe rhombische Säule, ihre Flächen laufen mit der schräg gestellten Hauptaxe parallel, sie schneiden aber die symmetrische Axe in der Entfernung a , die horizontal gestellte Axe der symmetrischen Ebene in der Entfernung b vom Mittelpunkt des idealen Krystalls.
 oP die schiefe Endfläche, parallel der Ebene der beiden horizontalen Axen.
 $[\infty P_{\infty}]$ Flächen, parallel der symmetrischen Ebene.
 ∞P_{∞} Flächen, parallel der symmetrischen Axe und der schrägen Hauptaxe.
 $[P_{\infty}]$ Flächen, parallel der horizontalen Axe der symmetrischen Ebene, die symmetrische Axe in der Entfernung a , die schräge Hauptaxe in der Entfernung c von dem Mittelpunkt des Axenkreuzes schneidend.

Naumann'sche
Formel.
 $+P_{\infty}$
und
 $-P_{\infty}$

Flächen, parallel der symmetrischen Axe, die schräge Hauptaxe in der Entfernung c , die horizontale Axe der symmetrischen Ebene in der Entfernung b vom Mittelpunkt des Axenkreuzes schneidend.

BEZEICHNUNG DER KRISTALLSYSTEME.

Nicht bei allen Schriftstellern führen die 6 Krystallisations-systeme die oben angeführten Namen; so heisst das erste Krystall-

nach Weiss	das reguläre,
nach Mohs	das tessularische,
nach Naumann . . .	das tesserale;
das quadratische System heisst	
nach Weiss	das zwei- und einaxige,
nach Mohs	das pyramidale,
nach Naumann . . .	das tetragonale;
das hexagonale System heisst	
nach Weiss	das drei- und einaxige,
nach Mohs	das rhomboëdrische,
nach Naumann . . .	das hexagonale;
das rhombische System heisst	
nach Weiss	das ein- und einaxige,
nach Mohs	das orthotype,
nach Naumann . . .	das rhombische;
das monoklinische System heisst	
nach Weiss	das zwei- und eingliedrige,
nach Mohs	das hemiorthotype,
nach Naumann . . .	das monoklinometrische;
das triklinische System heisst	
nach Weiss	das ein- und eingliedrige,
nach Mohs	das anorthotype,
nach Naumann . . .	das triklinometrische.

GEORGETOWN
LIBRARY
NEW YORK

In order that others may use this book,
please return it as soon as possible, but
not later than the date due.

Stanford University Library
Stanford, California

546 .M946

C.1

Grundzüge der kristal

Stanford University Libraries



3 6105 046 511 262